



ELSEVIER

Journal
of Organo-
metallic
Chemistry

Journal of Organometallic Chemistry 495 (1995) 113–125

Koordinationschemie funktioneller Phosphine II. [☆]. Carbonyl(nitrosyl)wolfram-Komplexe mit 2-Diphenylphosphinoanisol sowie 2-Diphenylphosphinoanilid, -benzoat und -phenolat als Liganden

Jörg Pietsch ^a, Lutz Dahlenburg ^{a,*}, Alexander Wolski ^a, Heinz Berke ^{b,*},
Igor Leonidovich Eremenko ^b

^a Institut für Anorganische Chemie der Friedrich-Alexander-Universität Erlangen-Nürnberg, Egerlandstr. 1, D-91058 Erlangen, Germany

^b Anorganisch-chemisches Institut der Universität Zürich, Winterthurerstr. 190, CH-8057 Zürich, Switzerland

Eingegangen den 2. November 1994; in revidierter Form den 30. Dezember 1994

Abstract

Displacement of the loosely coordinated FPF_5^- and MeCN ligands in $[\text{W}(\text{CO})_3(\text{NO})(\text{PR}_3)(\text{FPF}_5)]$ and $[\text{W}(\text{CO})_2(\text{NO})(\text{MeCN})_3]^+$ by $\text{Ph}_2\text{PC}_6\text{H}_4\text{X}-2$ ($\text{X} = \text{OMe}$, OH or CO_2H) led to $[\text{W}(\text{CO})_3(\text{NO})(\text{PMe}_3)(\text{Ph}_2\text{PC}_6\text{H}_4\text{OMe}-2)][\text{PF}_6]$ (5), $[\text{W}(\text{CO})_2(\text{NO})(\text{PMe}_3)(\eta^2-\text{Ph}_2\text{PC}_6\text{H}_4\text{OMe}-2)][\text{PF}_6]$ (6), $[\text{W}(\text{CO})_2(\text{NO})(\text{PR}_3)(\eta^2-\text{Ph}_2\text{PC}_6\text{H}_4\text{X}'-2)]$ ($\text{PR}_3 = \text{PMe}_3$, PPhMe_2 , PPh_2Me ; $\text{X}' = \text{O}$ (7a–7c), CO_2 (8a–8c)), $[\text{W}(\text{CO})_2(\text{NO})(\eta^1-\text{Ph}_2\text{PC}_6\text{H}_4\text{OH}-2)(\eta^2-\text{Ph}_2\text{PC}_6\text{H}_4\text{O}-2)]$ (9) and $[\text{W}(\text{CO})_2(\text{NO})(\text{MeCN})(\text{Ph}_2\text{PC}_6\text{H}_4\text{OMe}-2)_2]^+$ (10, isolated as its SbF_6^- and BF_4^- salt). 2-Diphenylphosphinoaniline complexes $[\text{W}(\text{CO})_2(\text{NO})(\text{PMe}_3)(\eta^2-\text{Ph}_2\text{PC}_6\text{H}_4\text{NH}_2-2)][\text{PF}_6]$, $[\text{W}(\text{CO})_2(\text{NO})(\eta^1-\text{Ph}_2\text{PC}_6\text{H}_4\text{NH}_2-2)(\eta^2-\text{Ph}_2\text{PC}_6\text{H}_4\text{NH}_2-2)][\text{SbF}_6]$ and $[\text{W}(\text{CO})(\text{NO})(\eta^2-\text{Ph}_2\text{PC}_6\text{H}_4\text{NH}_2-2)_2][\text{BF}_4]$ interacted with hydride transfer reagents ($\text{Li}[\text{AlH}_4]$, $\text{Na}[\text{BH}(\text{OMe})_3]$, $\text{Li}[\text{BHEt}_3]$) via deprotonation to give $[\text{W}(\text{CO})_2(\text{NO})(\text{PMe}_3)(\eta^2-\text{Ph}_2\text{PC}_6\text{H}_4\text{NH}-2)]$ (11) and $[\text{W}(\text{CO})_2(\text{NO})(\eta^2-\text{Ph}_2\text{PC}_6\text{H}_4\text{NH}_2-2)(\eta^2-\text{Ph}_2\text{PC}_6\text{H}_4\text{NH}-2)]$ (12), respectively. The structures of $[\text{W}(\text{CO})(\text{NO})(\eta^2-\text{Ph}_2\text{PC}_6\text{H}_4\text{NH}_2-2)_2][\text{BF}_4]$ (*trans*-4-BF₄, containing 1 H₂O of crystallization), $[\text{W}(\text{CO})_2(\text{NO})(\text{MeCN})(\text{Ph}_2\text{PC}_6\text{H}_4\text{OMe}-2)_2][\text{SbF}_6]$, as an addition compound with 0.5 CH₂Cl₂) and $[\text{W}(\text{CO})_2(\text{NO})(\text{PMe}_3)(\eta^2-\text{Ph}_2\text{PC}_6\text{H}_4\text{NH}-2)]$ (*cis* isomer of 11) were determined by single-crystal X-ray diffractometry.

Zusammenfassung

Die Substitution der schwach gebundenen FPF_5^- - und MeCN-Liganden von $[\text{W}(\text{CO})_3(\text{NO})(\text{PR}_3)(\text{FPF}_5)]$ und $[\text{W}(\text{CO})_2(\text{NO})(\text{MeCN})_3]^+$ durch $\text{Ph}_2\text{PC}_6\text{H}_4\text{X}-2$ ($\text{X} = \text{OMe}$, OH, CO_2H) führte zu $[\text{W}(\text{CO})_3(\text{NO})(\text{PMe}_3)(\text{Ph}_2\text{PC}_6\text{H}_4\text{OMe}-2)][\text{PF}_6]$ (5), $[\text{W}(\text{CO})_2(\text{NO})(\text{PMe}_3)(\eta^2-\text{Ph}_2\text{PC}_6\text{H}_4\text{OMe}-2)][\text{PF}_6]$ (6), $[\text{W}(\text{CO})_2(\text{NO})(\text{PR}_3)(\eta^2-\text{Ph}_2\text{PC}_6\text{H}_4\text{X}'-2)]$ ($\text{PR}_3 = \text{PMe}_3$, PPhMe_2 , PPh_2Me ; $\text{X}' = \text{O}$ (7a–7c), CO_2 (8a–8c)), $[\text{W}(\text{CO})_2(\text{NO})(\eta^1-\text{Ph}_2\text{PC}_6\text{H}_4\text{OH}-2)(\eta^2-\text{Ph}_2\text{PC}_6\text{H}_4\text{O}-2)]$ (9) und $[\text{W}(\text{CO})_2(\text{NO})(\text{MeCN})(\text{Ph}_2\text{PC}_6\text{H}_4\text{OMe}-2)_2]^+$ (10, isoliert als SbF_6^- - und BF_4^- -Salz). Die 2-Diphenylphosphinoanilin-Komplexe $[\text{W}(\text{CO})_2(\text{NO})(\text{PMe}_3)(\eta^2-\text{Ph}_2\text{PC}_6\text{H}_4\text{NH}_2-2)][\text{PF}_6]$, $[\text{W}(\text{CO})_2(\text{NO})(\eta^1-\text{Ph}_2\text{PC}_6\text{H}_4\text{NH}_2-2)(\eta^2-\text{Ph}_2\text{PC}_6\text{H}_4\text{NH}_2-2)][\text{SbF}_6]$ und $[\text{W}(\text{CO})(\text{NO})(\eta^2-\text{Ph}_2\text{PC}_6\text{H}_4\text{NH}_2-2)_2][\text{BF}_4]$ reagierten mit Hydridüberträgern ($\text{Li}[\text{AlH}_4]$, $\text{Na}[\text{BH}(\text{OMe})_3]$, $\text{Li}[\text{BHEt}_3]$) unter Deprotonierung und Bildung von $[\text{W}(\text{CO})_2(\text{NO})(\text{PMe}_3)(\eta^2-\text{Ph}_2\text{PC}_6\text{H}_4\text{NH}-2)]$ (11) bzw. $[\text{W}(\text{CO})_2(\text{NO})(\eta^2-\text{Ph}_2\text{PC}_6\text{H}_4\text{NH}_2-2)(\eta^2-\text{Ph}_2\text{PC}_6\text{H}_4\text{NH}-2)]$ (12). Folgende Verbindungen wurden durch Röntgenstrukturanalyse charakterisiert: $[\text{W}(\text{CO})(\text{NO})(\eta^2-\text{Ph}_2\text{PC}_6\text{H}_4\text{NH}_2-2)_2][\text{BF}_4]$ (*trans*-5-BF₄, als Monohydrat), $[\text{W}(\text{CO})_2(\text{NO})(\text{MeCN})(\text{Ph}_2\text{PC}_6\text{H}_4\text{OMe}-2)_2][\text{SbF}_6]$ (10-SbF₆, als Additionsverbindung mit 0.5 CH₂Cl₂) und $[\text{W}(\text{CO})_2(\text{NO})(\text{PMe}_3)(\eta^2-\text{Ph}_2\text{PC}_6\text{H}_4\text{NH}-2)]$ (*cis*-Isomer on 11).

Keywords: Phosphine; Tungsten; Carbonyl; Nitrosyl; X-ray diffraction

[☆] Teil I: Ref [1]. Die Ergebnisse wurden den Arbeiten zur Dissertation von J. Pietsch entnommen.

* Corresponding authors.

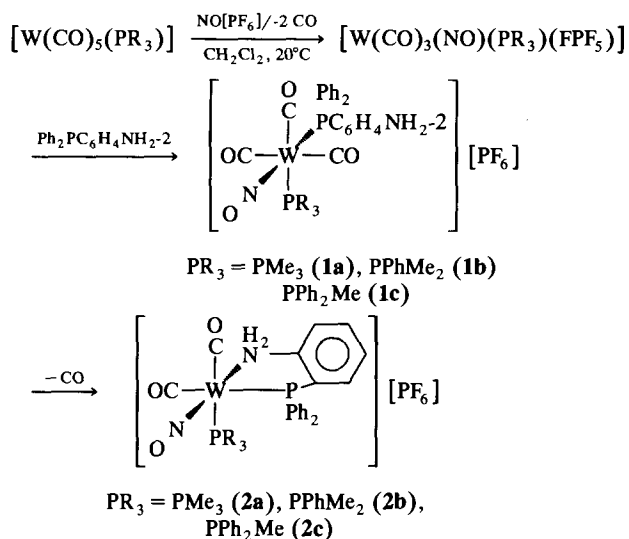
1. Einleitung

In einer vorausgehenden Arbeit [1] beschrieben wir Darstellung und Strukturen einer Reihe kationischer Carbonyl(nitrosyl)wolfram-Komplexe mit dem NH-funktionellen Phosphin-Liganden 2-(Diphenylphosphino)anilin, $\text{Ph}_2\text{PC}_6\text{H}_4\text{NH}_2\text{-}2$. Diese interessierten als mögliche Vorläufer von Hydrido-Komplexen des Typs $[\text{WH}(\text{CO})_2(\text{NO})(\text{L})(\text{Ph}_2\text{PC}_6\text{H}_4\text{NH}_2\text{-}2)]$ (L = P-Donor), welche neben einer durch den "Nitrosyl-Effekt" [2] stark hydridisch polarisierten Metall–H-Bindung eine protische NH-Funktion in ihrer Koordinationssphäre enthalten und somit als Äquivalent eines heterolytisch aktivierten H_2 -Moleküls $\text{H}^{\delta-}\cdots\text{H}^{\delta+}$ denkbar sind [3]. Die Synthesewege typischer Vertreter der in Ref. [1] vorgestellten Verbindungen sind in Schema 1 und Schema 2 zusammengefaßt:

In der vorliegenden Mitteilung beschreiben wir die Ergebnisse von Versuchen zur Umwandlung dieser Komplexe in Hydrido-Derivate und berichten gleichzeitig über verwandte Carbonyl(nitrosyl)wolfram-Verbindungen mit den OH-funktionellen Phosphinen $\text{Ph}_2\text{PC}_6\text{H}_4\text{OH-}2$ und $\text{Ph}_2\text{PC}_6\text{H}_4\text{CO}_2\text{H-}2$ sowie mit dem methoxysubstituierten Liganden $\text{Ph}_2\text{PC}_6\text{H}_4\text{OMe-}2$.

2. Synthesen und Eigenschaften

Die Umsetzung des aus $[\text{W}(\text{CO})_5(\text{PMe}_3)]$ und $\text{NO}[\text{PF}_6]$ in Methylenechlorid in situ zugänglichen Hexafluorophosphato-Komplexes $[\text{W}(\text{CO})_3(\text{NO})(\text{PMe}_3)(\text{PF}_6)]$ [4] mit 2-(Diphenylphosphino)anisol führt zu einem ganz ähnlichen Ergebnis wie die Substitution des locker gebundenen PF_6^- -liganden durch 2-(Diphenylphosphino)anilin gemäß Schema 1, d.h. man erhält über die kationische Tricarbonyl(nitrosyl)-Zwischenverbindung 5 mit einzähnig gebundenem $\text{Ph}_2\text{PC}_6\text{H}_4\text{OMe-}2$ -Liganden, $[\text{W}(\text{CO})_3(\text{NO})(\text{PMe}_3)(\text{Ph}_2\text{PC}_6\text{H}_4\text{OMe-}2)]^+$,

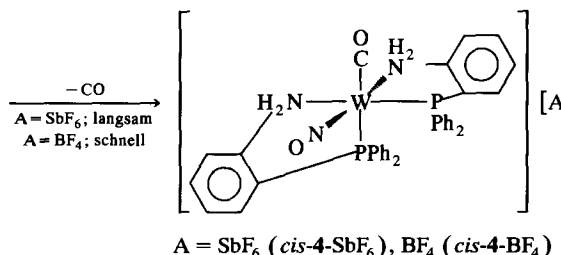
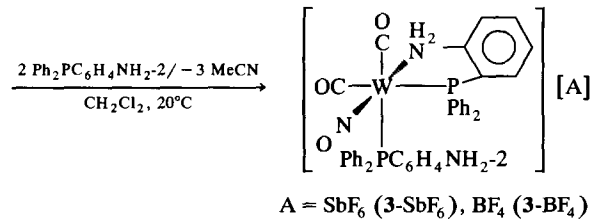


Schema 1.

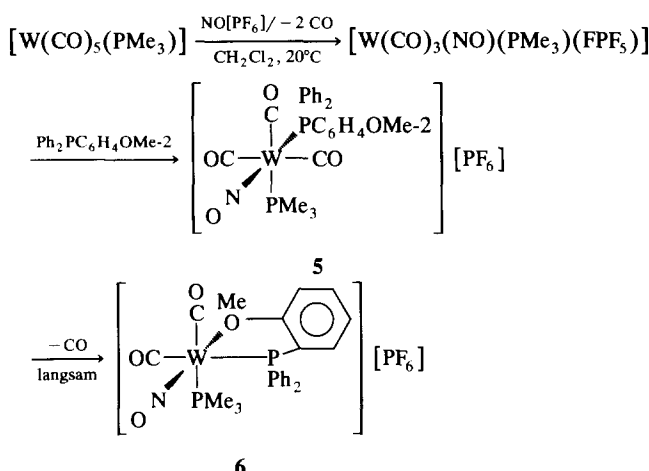
durch CO-Eliminierung den Chelat-Komplex $[\text{W}(\text{CO})_2(\text{NO})(\text{PMe}_3)(\eta^2\text{-Ph}_2\text{PC}_6\text{H}_4\text{OMe-}2)]^+$ (6), Schema 3.

Anders als bei den 2-(Diphenylphosphino)anilin-Derivaten 1 verläuft die zur Ringbildung führende intramolekulare CO-Substitution in 5 bei Raumtemperatur aber nur unvollständig, so daß gemäß Schema 3 stets ein annähernd äquimolares Gemisch der Komplexe 5 und 6 gebildet wird.

Die in situ-Substitution von $[\text{W}(\text{CO})_3(\text{NO})(\text{PR}_3)(\text{PF}_6)]$ -Komplexen durch 2-(Diphenylphosphino)phenol oder 2-(Diphenylphosphino)benzoësäure ergibt nicht kationische Chelat-Komplexe wie 2 oder 6, sondern Neutralverbindungen der Form $[\text{W}(\text{CO})_2(\text{NO})(\text{PR}_3)(\eta^2\text{-Ph}_2\text{PC}_6\text{H}_4\text{X'-}2)]$ ($\text{PR}_3 = \text{PMe}_3$, PPhMe_2 und PPh_2Me ; $\text{X}' = \text{O}$ (7a–7c) und $\text{X}' = \text{CO}_2$ (8a–8c)), da die erhöhte Acidität der koordinierten Hydroxyl- bzw. Carboxylgruppe zu spontaner Deprotonierung führt. Als Base wirkt hierbei überschüssiger freier Ligand (Schema 4); die durch die Protonenübertragung gebildeten Phospho-



Schema 2.



Schema 3.

niumionen geben sich im ^{31}P -NMR-Spektrum durch breite Signale zwischen 0 und 10 ppm [5,6] zu erkennen. Neben diesen Phosphonium-Hexafluorophosphaten finden sich stets auch Reste der Pentacarbonyl-Edukte $[\text{W}(\text{CO})_5(\text{PR}_3)]$, die von den Verbindungen 7 und 8 durch Chromatographie an Kieselgel oder Umkristallisieren in der Regel nur unvollständig abgetrennt werden können. Bei der Darstellung der Komplexe 7 lassen sich in Lösung noch zwei in einer Nebenreaktion gebildete Produkte nachweisen. Eine dieser beiden Verbindungen konnte durch unabhängige Synthese aus $[\text{W}(\text{CO})_2(\text{NO})(\text{MeCN})_3]^+$ und $\text{Ph}_2\text{PC}_6\text{H}_4\text{OH}-2$ (s.u.) als *cis,cis*- $[\text{W}(\text{CO})_2(\text{NO})(\eta^1\text{-Ph}_2\text{PC}_6\text{H}_4\text{OH}-2)(\eta^2\text{-Ph}_2\text{PC}_6\text{H}_4\text{O}-2)]$ (9) identifiziert werden; bei der zweiten Spezies handelt sich nach ^{31}P -NMR-spektroskopischen Befunden ($^2J(\text{PP}) > 100$ Hz; vgl. Tabelle 4) um das *trans,trans*-Isomer von 9.

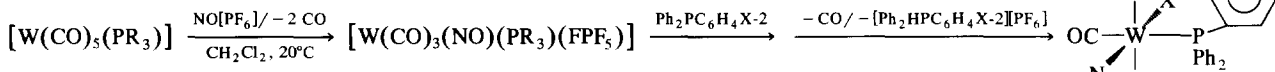
Die zu den Komplexen 7 und 8 führende Ringschlußreaktion verläuft so rasch und quantitativ, daß sich selbst bei -60°C keine den Verbindungen 1 und 3 entsprechenden Tricarbonyl-Spezies mit einzähnig gebundenem 2-(Diphenylphosphino)phenol- bzw. -benzoësäure-Liganden als kurzlebige Zwischenstufen nachweisen lassen.

Die labilen Acetonitril-Liganden des Kations $[\text{W}(\text{CO})_2(\text{NO})(\text{MeCN})_3]^+$ [7] lassen sich, ähnlich wie bei der entsprechenden Reaktion mit 2-(Diphenylphosphino)anilin (Schema 2), durch $\text{Ph}_2\text{PC}_6\text{H}_4\text{OH}-2$ substituieren. Es werden zwei Äquivalente des funktionellen Phosphin-Liganden in die Koordinationssphäre eingebaut, von denen aber nur einer in einer Chelatfunktion gebunden ist. Das Sauerstoffatom des Chelatringes ist nach IR- und ^1H -NMR-Befunden (s.u.) über eine Wasserstoffbrückenbindung mit der phenolischen OH-Gruppe des einzähnig koordinierten $\text{Ph}_2\text{PC}_6\text{H}_4\text{OH}-2$ -Liganden des gemäß Schema 5 gebildeten Komplexes *cis,cis*- $[\text{W}(\text{CO})_2(\text{NO})(\eta^1\text{-Ph}_2\text{PC}_6\text{H}_4\text{OH}-2)(\eta^2\text{-Ph}_2\text{PC}_6\text{H}_4\text{O}-2)]$ (9) verknüpft. Die relativ starke O–H \cdots O $^-$ -Wasserstoffbrücke in 9 verhindert offenbar die Ausbildung eines zweiten Chelatringes wie in $[\text{W}(\text{CO})(\text{NO})(\eta^2\text{-Ph}_2\text{PC}_6\text{H}_4\text{NH}_2-2)_2]^+$ (*cis*-4). Anders nämlich als bei den aus dem $[\text{W}(\text{CO})_2(\text{NO})(\text{MeCN})_3]^+/\text{Ph}_2\text{PC}_6\text{H}_4\text{NH}_2-2$ -Reaktionssystem nach Schema 2 isolierbaren Dicarbonyl-Kationen $[\text{W}(\text{CO})_2(\text{NO})(\eta^1\text{-Ph}_2\text{PC}_6\text{H}_4\text{NH}_2-2)(\eta^2\text{-Ph}_2\text{PC}_6\text{H}_4\text{NH}_2-2)]^+$ (3), die durch vergleichsweise schwächere intramolekulare N–H \cdots N-Wechselwirkungen charakterisiert sind [8], werden für den Komplex 9 keinerlei unter Ringschluß und CO-Verdrängung verlaufenden Folgereaktionen beobachtet.

Die Einwirkung von 2-(Diphenylphosphino)anisol auf $[\text{W}(\text{CO})_2(\text{NO})(\text{MeCN})_3]^+$ liefert das Kation $[\text{W}(\text{CO})_2(\text{NO})(\text{MeCN})(\text{Ph}_2\text{PC}_6\text{H}_4\text{OMe}-2)_2]^+$ (10), welches in Form seines Hexafluoroantimonats bzw. Tetrafluoroborats isoliert wurde (Schema 6).

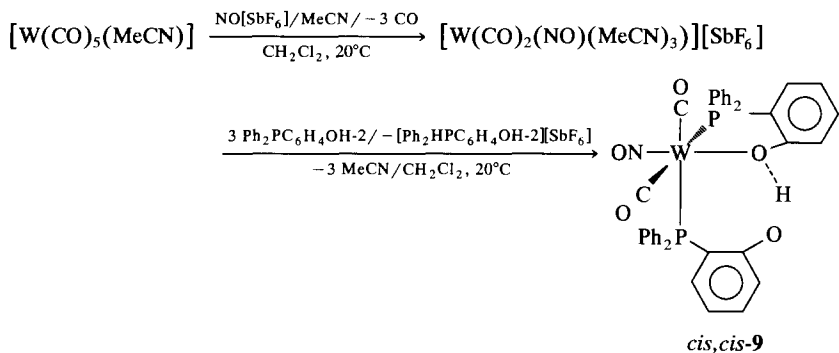
Die Isolierung der Komplexe 3 [1], 9 und 10 gibt einen Hinweis auf den möglichen Verlauf der Substitutionsvorgänge am $[\text{W}(\text{CO})_2(\text{NO})(\text{MeCN})_3]^+$ -Rumpf: Demnach erfolgt zunächst Zweifachsubstitution von Acetonitril durch $\text{Ph}_2\text{PC}_6\text{H}_4\text{X}-2$ (X = NH₂, OH und OMe) zu 10 bzw. einem dieser Verbindung entsprechenden Komplex, dann die Ausbildung eines Chelatringes wie in 3 oder 9 unter Verdrängung des noch verbliebenen MeCN-Liganden und ggf. in einem letzten Reaktionsschritt der Aufbau eines zweiten Ringsystems wie in *cis*-4.

Die Umsetzung des Kations $[\text{W}(\text{CO})_2(\text{NO})(\text{MeCN})_3]^+$ mit $\text{Ph}_2\text{PC}_6\text{H}_4\text{CO}_2\text{H}-2$ ergibt einen schwerlös-



PR_3	$\text{X}' = \text{O}$	$\text{X}' = \text{CO}_2$	$\text{X} = \text{OH}, \text{CO}_2\text{H}$
PM_{e}_3	7a	8a	
PPhMe_2	7b	8b	
PPh_2Me	7c	8c	

Schema 4.



Schema 5.

lichen gelben Feststoff, dessen Charakterisierung nicht gelang.

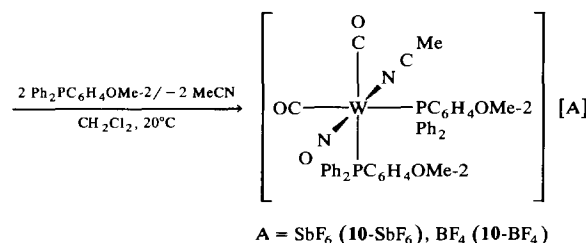
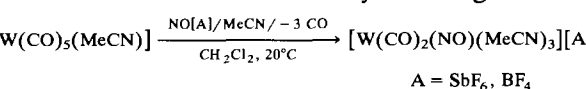
Die intensiv gelben Komplexe **5**, **6**, **9** und **10** sind in Methylenechlorid, Chloroform, Aceton und THF gut bis sehr gut löslich. In Ether und Kohlenwasserstoffen lösen sie sich nicht. Als Festkörper sind sie an Luft längere Zeit stabil; auch Lösungen der Substanzen sind gegenüber Sauerstoff und Feuchtigkeit relativ unempfindlich.

3. Reaktionen mit Hydridüberträgern

Um aus den in der Einleitung genannten Gründen Hydridowolfram-Komplexe mit koordinierten $\text{Ph}_2\text{PC}_6\text{H}_4\text{X}-2$ -Liganden ($\text{X} = \text{NH}_2$, OH oder CO_2H) zu synthetisieren, wurden in exemplarischen Reaktionen zunächst die kationischen Verbindungen $[\text{W}(\text{CO})_2(\text{NO})(\text{PMe}_3)(\eta^2\text{-Ph}_2\text{PC}_6\text{H}_4\text{NH}_2-2)]^+$ (**2a**, PF_6^- -Salz), $[\text{W}(\text{CO})_2(\text{NO})(\eta^1\text{-Ph}_2\text{PC}_6\text{H}_4\text{NH}_2-2)(\eta^2\text{-Ph}_2\text{PC}_6\text{H}_4\text{NH}_2-2)]^+$ (**3**, SbF_6^- -Salz) und $[\text{W}(\text{CO})(\text{NO})(\eta^2\text{-Ph}_2\text{PC}_6\text{H}_4\text{NH}_2-2)_2]^+$ (*cis*-**4**, BF_4^- -Salz) mit Hydridüberträgern wie $\text{Li}[\text{AlH}_4]$, $\text{Na}[\text{BH}(\text{OMe})_3]$ und $\text{Li}[\text{BHEt}_3]$ in THF unter wechselnden Bedingungen (20–66°C) ungesetzt. Hydrido-Produkte bildeten sich hierbei jedoch nicht; stattdessen wurden die eingesetzten Komplexe je nach Reaktivität des verwendeten Hydrid-Reagenzes unter-

schiedlich schnell an einer koordinierten NH_2 -Funktion deprotoniert: $\text{Li}[\text{AlH}_4] \gg \text{Na}[\text{BH}(\text{OMe})_3] \approx \text{Li}[\text{BHEt}_3]$. Die gebildeten Produkte wurden als $[\text{W}(\text{CO})_2(\text{NO})(\text{PMe}_3)(\eta^2\text{-Ph}_2\text{PC}_6\text{H}_4\text{NH}_2-2)]$, **11** (aus **2a**), und $[\text{W}(\text{CO})_2(\text{NO})(\eta^2\text{-Ph}_2\text{PC}_6\text{H}_4\text{NH}_2-2)(\eta^2\text{-Ph}_2\text{PC}_6\text{H}_4\text{NH}_2-2)]$, **12** (aus **3-SbF₆** und *cis*-**4-BF₄), identifiziert. Der zunächst als *cis*-Isomer gebildete und in dieser Form auch durch Deprotonierung von **2a** an neutralem Kieselgel erhältliche Komplex **11** lagert sich bei leicht erhöhter Temperatur (ca. 40°C) in Lösung langsam in die *trans*-Form um.**

Um zu prüfen, ob die zur Bildung der bezüglich ihrer Diphenylphosphino-Funktionen *trans*-konfigurierten Amino/Amido-Verbindung **12** führende Deprotonierung des kationischen *cis*-Komplexes **4** an diesem selbst oder erst nach dessen Umlagerung in das entsprechende *trans*-Kation stattfindet, untersuchten wir die *cis/trans*-Isomerisierung von **4**. Diese setzt in Methylenechlorid bei Raumtemperatur nur sehr langsam ein; in THF verläuft sie unter den für die Deprotonierungsreaktionen gewählten Bedingungen (20–66°C) überhaupt nicht. Wir schließen daraus, daß das *cis*-Kation zunächst deprotoniert wird und die daraus entstandene Neutralverbindung einer raschen *cis/trans*-Isomerisierung unterliegt.



Schema 6.

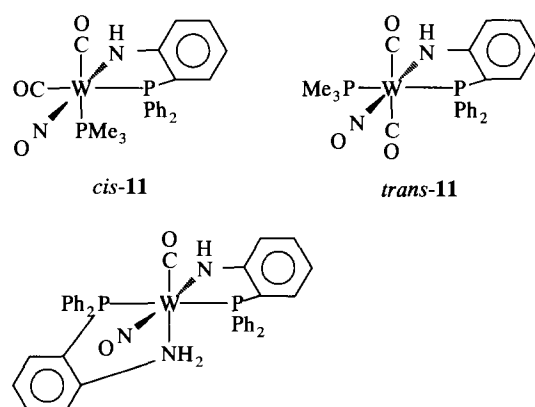


Tabelle 1
IR-Daten^a

Nr.	$\bar{\nu}$ (ν (CO))	$\bar{\nu}$ (ν (NO))
cis-4-BF ₄ [1] ^d	1923 vs	1605 vs
trans-4-BF ₄ ^d	1890 vs	1601 vs
6 ^{b,d}	2096 sh, 2067 sh, 2013 vs, 1929 vs	1714 vs, 1615 vs
7a	2006 vs, 1921 vs	1620 vs
7b	2016 vs, 1939 vs	1620 vs
7c	2020 vs, 1937 vs	1624 vs
8a ^d	2016 vs, 1937 vs	1618 vs
8b ^d	2023 vs, 1940 vs	1630 vs
8c ^d	2025 vs, 1937 vs	1628 vs
cis,cis-9 ^d	2030 vs, 1962 vs	1630 vs
10-SbF ₆ ^d	2033 vs, 1964 vs	1672 vs
10-BF ₄ ^d	2034 vs, 1960 vs	1671 vs
cis-11 ^d	1999 vs, 1915 vs	1615 vs
12 ^{c,d}	1896 vs	1563 vs

^a In KBr wenn nicht anders vermerkt; Wellenzahlen $\bar{\nu}$ in cm^{-1} .^b Als Gemisch mit 5.^c In CH_2Cl_2 .

^d Weitere charakteristische Banden: cis-4-BF₄; 3255 sh, 3230 m ($\nu(\text{NH}_2)$, koord.), 1087 vs (br) ($\nu(\text{BF}_4)$). trans-4-BF₄; 3271 sh, 3219 m ($\nu(\text{NH}_2)$, koord.), 1094 vs (br) ($\nu(\text{BF}_4)$). 6; 839 vs ($\nu(\text{PF}_6)$). 8a; 1680 s ($\nu(\text{CO}_2)$, koord.). 8b; 1688 sh ($\nu(\text{CO}_2)$, koord.). 8c; 1684 sh ($\nu(\text{CO}_2)$, koord.). cis,cis-9; 3200 w, br ($\nu(\text{OH})$, intramol. H-Brücke). 10-SbF₆; 2281 m ($\nu(\text{CN})$), 658 vs ($\nu(\text{SbF}_6)$). 10-BF₄; 2284 m ($\nu(\text{CN})$), 1084 vs (br) ($\nu(\text{BF}_4)$). cis-11; 3367 w ($\nu(\text{NH})$, koord.). 12; 3353 w ($\nu(\text{NH})$, koord.), 3285 w, 3225 w ($\nu(\text{NH}_2)$, koord.).

4. Spektroskopische Charakterisierung von 4–12

Die IR- und NMR-Daten der Komplexe 4–12 sind in den Tabellen 1–4 zusammengestellt.

Alle Dicarbonyl(nitrosyl)-Komplexe 6–12 zeigen im IR-Spektrum zwei nahezu gleich starke $\nu(\text{CO})$ -Ab-

Tabelle 3
¹³C{¹H}-NMR-Daten^a

Nr.	δ (CO)	<i>cis</i> - ² J(PC)	<i>trans</i> - ² J(PC)
cis-4-BF ₄ [1]	227.8	3.2	47.4
trans-4-BF ₄	237.2	n.b.	
7a ^b	213.3	5.9	45.5
	209.8	5.8	51.0
cis,cis-9	212.2	4.5	n.b.
	208.8	6.6	n.b.
10-SbF ₆ ^b	207.3	n.b.	37.3
cis-11 ^b	215.8	5.8	39.7
	208.6	6.7	54.1

^a In CHCl_3 (cis-4-BF₄, 7a, 10-SbF₆, cis-11), CD_2Cl_2 (cis,cis-9) bzw. Acetonitril-d₃ (trans-4-BF₄); Kopplungskonstanten in Hz.

^b Weitere charakteristische Signale: 7a; 176.5 (d, $J(\text{PC}) = 27.4$, Phenolat-C), 15.0 (d, $J(\text{PC}) = 25.2$, PCH_3). cis,cis-9; 173.4 (d, $J(\text{PC}) = 24.9$, Phenolat-C), 160.1 (d, $J(\text{PC}) = 8.9$, Phenol-C). 10-SbF₆; 55.4 (s, OCH_3), 1.6 (d, $J(\text{PC}) = 15.8$, NCCH_3). cis-11; 170.0 (d, $J(\text{PC}) = 29.98$, Amid-C), 15.2 (d, $J(\text{PC}) = 26.3$, PCH_3).

sorptionen neben einer meist ebenso intensiven $\nu(\text{NO})$ -Bande. Erwartungsgemäß liegen diese in den Neutralverbindungen 7–9 und 11 bei deutlich niedrigeren Wellenzahlen als in den kationischen Komplexen 2, 3 [1], 6 und 10, wobei der Effekt sich insbesondere auf die $\nu(\text{NO})$ -Bande auswirkt. Ähnlich wie die von anderer Seite beschriebenen Komplexe $[\text{WCl}\{\text{o-(NH)}_2\text{C}_6\text{H}_4\}_2(\text{PMe}_3)_2][\text{BPh}_4]$ [9] und $[\text{Re}(\text{NHPh})(\text{CO})_2(\text{PMe}_3)_3]$ [10] weisen die Amido-Verbindungen 11 und 12 $\nu(\text{NH})$ -Absorptionen auf, die gegenüber den Wellenzahlen der symmetrischen und asymmetrischen $\nu(\text{NH}_2)$ -Schwingungen koordinierter Aminofunktionen um ca. 100–150 cm^{-1} hochfrequent verschoben sind.

Tabelle 2

¹H-NMR-Daten^a

Nr.	δ (aromat. Signale)	$\delta(X)$ ^b	$\delta(\text{PC}_2\text{H}_3)$
cis-4-BF ₄ [1]	7.72 (m, 1H), 7.25 (m, 25H), 6.67 (m, 2H), 6.34 (m, 2H) ^c	5.10 (br, 1H), 3.08 (br, 1H) ^d	
trans-4-BF ₄	7.54 (m, 26H), 7.18 (m, 1H), 6.92 (m, 1H)	5.28 (br, 2H), 4.35 (br, 2H)	
7a	7.82 (m, 2H), 7.54 (m, 6H), 7.41 (m, 3H), 7.27 (m, 1H), 6.76 (m, 1H), 6.67 (m, 1H)		1.09 (d, $J(\text{PH}) = 8.2, 9\text{H}$)
7b	7.84 (m, 1H), 7.36 (m, 16H), 6.78 (m, 2H)		1.42 (d, $J(\text{PH}) = 7.9, 3\text{H}$), 1.23 (d, $J(\text{PH}) = 7.8, 3\text{H}$)
7c	7.40 (m, 22H), 7.11 (m, 1H), 6.78 (m, 2H)		1.30 (d, $J(\text{PH}) = 7.4, 3\text{H}$)
8a	8.33 (m, 1H), 7.52 (m, 12H), 7.04 (m, 1H)		1.25 (d, $J(\text{PH}) = 8.1, 9\text{H}$)
cis,cis-9	7.80 (m, 2H), 7.44 (m, 11H), 7.06 (m, 11H), 6.83 (m, 1H), 6.72 (m, 1H), 6.64 (m, 1H), 6.57 (m, 1H)	9.87 (br, 1H)	
10-SbF ₆	7.38 (m, 28H)	3.75 (s, 6H)	1.35 (t, $J(\text{PH}) = 1.9, 3\text{H}$)
10-BF ₄	7.31 (m, 28H)	3.76 (s, 6H)	1.47 (t, $J(\text{PH}) = 1.6, 3\text{H}$)
cis-11	7.82 (m, 2H), 7.51 (m, 5H), 7.36 (m, 4H), 6.98 (m, 1H), 6.38 (m, 2H)	3.64 (br, 1H) ^e	1.03 (d, $J(\text{PH}) = 7.8, 9\text{H}$)
12	7.64 (m, 6H), 7.20 (m, 20H), 6.63 (m, 1H), 6.14 (m, 1H)	6.6 (m, 1H) 5.85 (m, 1H) 2.52 (br, 1H)	

^a In CDCl_3 (cis-4-BF₄, 7–12) bzw. Acetonitril-d₃ (trans-4-BF₄); Kopplungskonstanten in Hz.^b X = NH₂ (4, 12), NH (cis-11, 12), OH (cis-9) bzw. OMe (10).^c Aromatische Multipletts überlagern zwei der vier NH₂-Signale.^d NH₂-Signale als breite AB-Dubletts: $J(\text{HH}) \approx 14$ Hz.^e Breites AX-Dublett: $J(\text{PH}) \approx 7$ Hz.

Eine charakteristisches Merkmal in den ^{13}C -NMR-Spektren der Phenolato- und Amido-Derivate **7a**, *cis,cis*-**9** und *cis*-**11** ist die mit $\delta \approx 170$ stark hochfrequente Verschiebung der Signale der mit dem Phenolat-O-Atom bzw. der Amidofunktion direkt verknüpften C-Atome. Die sich darin ausdrückende geringe Abschirmung der jeweiligen *ipso*-C-Atome wird möglicherweise durch die Ausbildung einer Ligand → Metall- π -Donorbindung bei der Koordination der deprotonierten funktionellen Gruppen verursacht. Dies führt zu einer erniedrigten Elektronendichte am Heteroatom und damit zu einer stärkeren Polarisation der C-X- σ -Bindung im Sinne $\text{C}^{\delta+}-\text{X}^{\delta-}$ ($\text{X} = \text{O}$ bzw. NH).

In den Chelatkomplexen **4**, **6–9**, **11** und **12** zeigen die Ring-P-Atome die für fünfgliedrige Ringe charakteristische hochfrequente Verschiebung der ^{31}P -Resonanzen [11] (Ringbeitrag im Komplex *cis,cis*-**9** mit einzähnig und zweizähnig gebundenen $\text{Ph}_2\text{PC}_6\text{H}_4\text{O}(\text{H})$ -2-Liganden ca. 10 ppm). Demgegenüber fallen die Koordinationsverschiebungen $\Delta(^{31}\text{P})$ in den Carboxylato-Verbindungen **8a–8c** wegen des für sechsgliedrige Ringe zu erwartenden negativen Ringbeitrags [11] sehr viel geringer aus. Die ^{31}P -NMR-Daten der Verbindungen **5** und **6** demonstrieren den *trans*-Einfluß des NO-Liganden auf die direkte Kopplungskonstante $^1J(^{183}\text{WP})$: Infolge der Schwächung der W-P-Bindung durch die *trans*-ständige Nitrosylgruppe in **5** weist dieser Komplex für die Kopplung vom Zentralmetall zum $\text{Ph}_2\text{PC}_6\text{H}_4\text{OMe}$ -2-Liganden nur einen geringen Wert

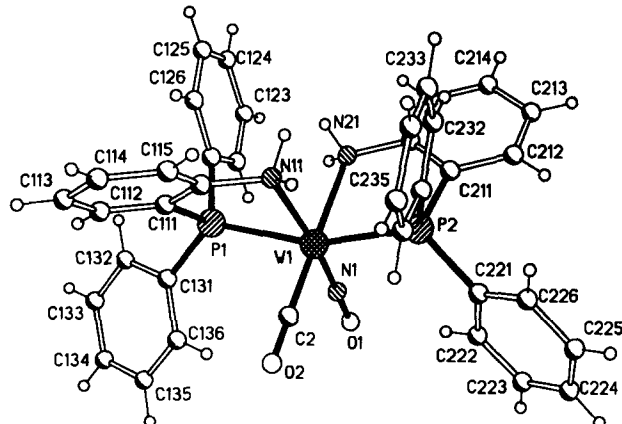


Abb. 1. Struktur des Kations von *trans,cis*-[W(CO)(NO)(η^2 - $\text{Ph}_2\text{PC}_6\text{H}_4\text{NH}_2$ -2)₂][BF₄] (*trans*-4-BF₄). Ausgewählte Bindungsabstände (Å) und -winkel (°): W(1)-P(1), 2.458(2); W(1)-P(2), 2.458(2); W(1)-N(1), 1.818(6); W(1)-N(11), 2.296(5); W(1)-N(21), 2.292(5); W(1)-C(2), 1.882(7); N(1)-O(1), 1.220(7); C(2)-O(2), 1.188(7). P(1)-W(1)-P(2), 161.5(1); P(1)-W(1)-N(1), 97.3(2); P(1)-W(1)-N(11), 75.8(1); P(1)-W(1)-N(21), 90.0(1); P(1)-W(1)-C(2), 93.3(2); P(2)-W(1)-N(1), 96.7(2); P(2)-W(1)-N(11), 90.2(1); P(2)-W(1)-N(21), 77.1(1); P(2)-W(1)-C(2), 982.2(2); N(1)-W(1)-N(11), 173.0(2); N(1)-W(1)-N(21), 93.4(2); N(1)-W(1)-C(2), 92.1(3); N(11)-W(1)-N(21), 86.9(2); N(11)-W(1)-C(2), 88.1(2); N(21)-W(1)-C(2), 173.2(2); W(1)-N(1)-O(1), 178.8(5); W(1)-C(2)-O(2), 178.6(6).

auf (ca. 170 Hz). Im Chelat-Komplex **6**, in dem der NO-Ligand nicht in *trans*-Stellung zur PPh₂-Funktion gebunden ist, ist die entsprechende Kopplungskonstante $^1J(^{183}\text{WP})$ hingegen deutlich erhöht (ca. 250 Hz).

5. Röntgenstrukturanalysen

Folgende Komplexe wurden strukturanalytisch charakterisiert: *trans,cis*-[W(CO)(NO)(η^2 - $\text{Ph}_2\text{PC}_6\text{H}_4\text{NH}_2$ -2)₂]₂[BF₄] (*trans*-4-BF₄, als Monohydrat), [W(CO)₂(NO)(MeCN)(Ph₂PC₆H₄OMe-2)₂][SbF₆] (**10**-SbF₆, kristallisiert mit 0.5 CH₂Cl₂) und *cis,cis*-[W(CO)₂(NO)(PM₃)₂(η^2 - $\text{Ph}_2\text{PC}_6\text{H}_4\text{NH}_2$ -2)] (*cis*-**11**).

Abb. 1 gibt eine perspektivische Darstellung des Kations des durch eine *trans*-Anordnung der Diphenylphosphino-Substituenten gekennzeichneten Bis(Chelat)-Komplexes *trans*-**4**. Die Struktur des zugehörigen *cis*-Isomers wurde bereits in [1] beschrieben. Dort zeigten alle Metall-Ligand-Bindungen eine ausgeprägte *trans*-komplementarische Abhängigkeit ihrer Längen. So erwies sich die Wolfram-Phosphor-Bindung in *trans*-Stellung zur koordinierten Aminogruppe mit 2.418 Å (Mittelwert von d(W-P) zweier symmetrieunabhängiger Komplexeneinheiten) als sehr viel kürzer als mit CO als *trans*-Einfluß-Ligand (2.530 Å). Ganz entsprechend war der W-NH₂-Abstand in *trans*-Stellung zu NO auf 2.339 Å aufgeweitet, während die Länge der der W-PPh₂-Einheit gegenüberstehenden W-NH₂-Bindung im Mit-

Tabelle 4
 ^{31}P -{¹H}-NMR-Daten ^a

Nr.	$\delta(\text{P}_A)$ ^b	$\delta(\text{P}_B)$ ^c	$^2J(\text{PP})$
<i>cis</i> - 4 -BF ₄ [1]	43.2 (374.5)	38.9 (247.7)	9.7
<i>trans</i> - 4 -BF ₄	48.6 (308.5)	47.4 (317.3)	128.8
5 ^d	2.8 (171.3)	-34.5 (252.1)	24.8
6 ^d	26.0 (247.9)	-25.1 (261.8)	22.8
7a	26.1 (249.2)	-25.1 (263.1)	22.8
7b	26.6 (251.8)	-15.8 (258.4)	22.6
7c	27.4 (250.1)	-3.4 (256.1)	22.5
8a	13.1 (250.6)	-23.8 (261.5)	22.3
8b	13.4 (251.5)	-12.5 (262.9)	22.2
8c	13.6 (249.8)	2.1 (264.8)	23.1
<i>cis,cis</i> - 9	28.1 (252.0)	17.3 (258.9)	25.5
<i>trans,trans</i> - 9	32.4 (294.7)	21.7 (306.0)	106.8
10 -SbF ₆	18.1 (255.3)		
10 -BF ₄	18.1 (255.0)		
<i>cis</i> - 11	27.3 (249.3)	-32.0 (250.8)	23.3
<i>trans</i> - 11	32.0 (281.5)	-25.4 (297.3)	94.1
12	45.1 (317.2)	42.6 (319.2)	129.6

^a In CDCl₃ (*cis*-4-BF₄, **5–12**) bzw. Acetonitril-d₃ (*trans*-4-BF₄); Kopplungskonstanten in Hz ($^1J(^{183}\text{WP})$ in Klammern hinter den jeweiligen chemischen Verschiebungen).

^b P_A = η^2 - $\text{Ph}_2\text{PC}_6\text{H}_4\text{NH}_2$ -2 (**4**), η^2 - $\text{Ph}_2\text{PC}_6\text{H}_4\text{NH}$ -2 (**11**), η^2 - $\text{Ph}_2\text{PC}_6\text{H}_4\text{O}$ -2 (**7a–7c**, **9**), η^2 - $\text{Ph}_2\text{PC}_6\text{H}_4\text{CO}_2$ -2 (**8a–8c**), η^1 - $\text{Ph}_2\text{PC}_6\text{H}_4\text{OMe}$ -2 (**5**, **10**) bzw. η^2 - $\text{Ph}_2\text{PC}_6\text{H}_4\text{OMe}$ -2 (**6**).

^c P_B = PMe₃ (**5**, **6**, **7a**, **11**), PPhMe₂ (**7b**, **8b**), PPh₂Me (**7c**, **8c**), η^2 - $\text{Ph}_2\text{PC}_6\text{H}_4\text{NH}_2$ -2 (**4**) bzw. η^1 - $\text{Ph}_2\text{PC}_6\text{H}_4\text{OH}$ -2 (**9**).

^d PH₆⁻-Signal bei $\delta = -143.4$ (sept., $J(\text{PF}) = 714.6$ Hz).

tel nur 2.245 Å maß. Die W–CO- und W–NO-Abstände differierten mit 1.97 Å und 1.80 Å ebenfalls deutlich. Im isomeren Kation, in dem sowohl der CO- als auch der NO-Ligand *trans* zu W–NH₂ gebunden sind, fällt der Unterschied in den Metall–Carbonyl- und Metall–Nitrosyl-Bindungslängen mit 1.882(7) Å und 1.818(6) Å dagegen naturgemäß sehr viel geringer aus. Entsprechend sind die Längen der W–NH₂-Bindung in *trans*-Position zum Carbonyl-Liganden (2.292(5) Å) und in *trans*-Stellung zum Nitrosyl-Liganden (2.296(5) Å) praktisch identisch. Die W–P-Abstände zeigen mit jeweils 2.458(2) Å erwartungsgemäß ebenfalls gleiche Werte.

Abb. 2 zeigt die Komplexgeometrie eines der beiden symmetrieeinabhängigen Kationen der Verbindung [W-

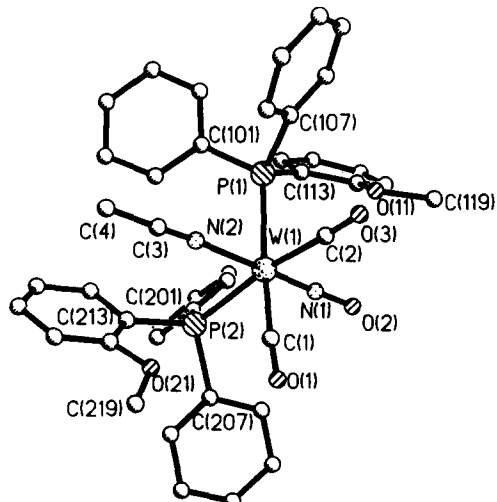


Abb. 2. Komplexstruktur des Kations 1 in der asymmetrischen Einheit von *cis,cis*-[W(CO)₂(NO)(MeCN)(η^1 -Ph₂PC₆H₄OMe-2)]₂][SbF₆] (**10-SbF₆**). Ausgewählte Bindungsabstände (Å) und -winkel (°): W(1)–P(1), 2.624(3); W(1)–P(2), 2.604(3); W(1)–N(1), 1.805(9); W(1)–N(2), 2.206(8); W(1)–C(1), 2.014(11); W(1)–C(2), 2.033(11); N(1)–O(2), 1.188(12); C(1)–O(1), 1.132(14); C(2)–O(3), 1.135(14); N(2)–C(3), 1.104(14); P(1)–W(1)–P(2), 104.5(1); P(1)–W(1)–N(1), 93.9(3); P(1)–W(1)–N(2), 86.6(2); P(1)–W(1)–C(1), 169.6(3); P(1)–W(1)–C(2), 82.8(3); P(2)–W(1)–N(1), 92.1(3); P(2)–W(1)–N(2), 87.7(2); P(2)–W(1)–C(1), 85.0(3); P(2)–W(1)–C(2), 172.7(3); N(1)–W(1)–N(2), 179.5(3); N(1)–W(1)–C(1), 89.8(4); N(1)–W(1)–C(2), 88.0(4); N(2)–W(1)–C(1), 89.7(4); N(2)–W(1)–C(2), 92.1(4); C(1)–W(1)–C(2), 87.7(5); W(1)–N(1)–O(2), 179.5(9); W(1)–C(1)–O(1), 175.3(10); W(1)–C(2)–O(3), 176.1(10); W(1)–N(2)–C(3), 177.0(9). Entsprechende Abstände und Winkel im strukturgleichen symmetrieeinabhängigen Kation 2: W(2)–P(3), 2.633(3); W(2)–P(4), 2.608(3); W(2)–N(3), 1.818(9); W(2)–N(4), 2.185(9); W(2)–C(5), 1.999(12); W(2)–C(6), 2.031(10); N(3)–O(4), 1.185(12); C(5)–O(5), 1.142(15); C(6)–O(6), 1.124(13); N(4)–C(7), 1.157(14); P(3)–W(2)–P(4), 106.3(1); P(3)–W(2)–N(3), 95.1(3); P(3)–W(2)–N(4), 82.2(2); P(3)–W(2)–C(5), 85.4(3); P(3)–W(2)–C(6), 167.8(3); P(4)–W(2)–N(3), 91.8(3); P(4)–W(2)–N(4), 87.1(2); P(4)–W(2)–C(5), 168.2(3); P(4)–W(2)–C(6), 81.5(3); N(3)–W(2)–N(4), 176.6(3); N(3)–W(2)–C(5), 89.1(4); N(3)–W(2)–C(6), 91.9(4); N(4)–W(2)–C(5), 92.7(4); N(4)–W(2)–C(6), 91.1(4); C(5)–W(2)–C(6), 84.7(4); W(2)–N(3)–O(4), 179.4(9); W(2)–C(5)–O(5), 168.8(9); W(2)–C(6)–O(6), 174.1(10); W(2)–N(4)–C(7), 166.6(8).

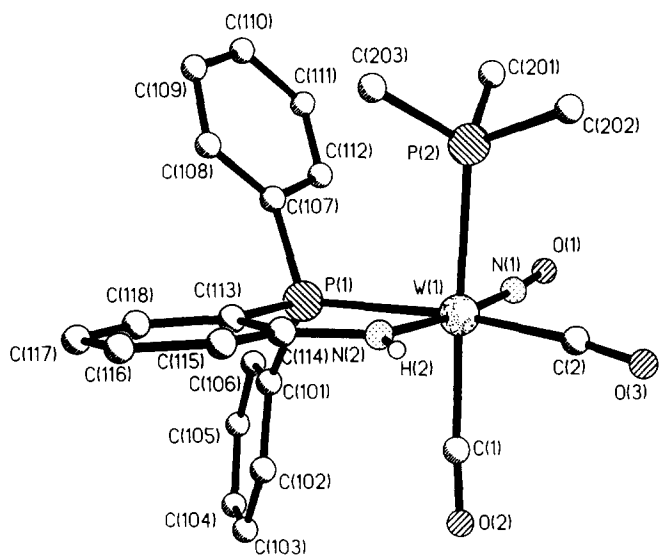


Abb. 3. Molekülstruktur von *cis,cis*-[W(CO)₂(NO)(PMe₃)(η^2 -Ph₂PC₆H₄NH-2)] (**cis-11**). Ausgewählte Bindungsabstände (Å) und -winkel (°): W(1)–P(1), 2.518(2); W(1)–P(2), 2.549(2); W(1)–N(1), 1.823(6); W(1)–N(2), 2.131(6); W(1)–C(1), 2.029(6); W(1)–C(2), 2.014(7); N(1)–O(1), 1.195(8); C(1)–O(2), 1.146(8); C(2)–O(3), 1.137(8); P(1)–W(1)–P(2), 93.2(1); P(1)–W(1)–N(1), 99.4(2); P(1)–W(1)–N(2), 76.5(1); P(1)–W(1)–C(1), 90.4(2); P(1)–W(1)–C(2), 163.5(2); P(2)–W(1)–N(1), 91.2(2); P(2)–W(1)–N(2), 84.6(1); P(2)–W(1)–C(1), 175.1(2); P(2)–W(1)–C(2), 89.4(2); N(1)–W(1)–N(2), 173.9(2); N(1)–W(1)–C(1), 91.4(3); N(1)–W(1)–C(2), 96.8(3); N(2)–W(1)–C(1), 93.0(2); N(2)–W(1)–C(2), 87.6(3); C(1)–W(1)–C(2), 86.2(3); W(1)–N(1)–O(1), 176.3(4); W(1)–C(1)–O(2), 176.3(6); W(1)–C(2)–O(3), 175.5(7).

(CO)₂(NO)(MeCN)(Ph₂PC₆H₄OMe-2)₂][SbF₆] (**10-SbF₆**). Hier sind die W–CO-Bindungen *trans* zu W–P (2.014(1) Å und 2.033(1) Å im Kation 1 sowie 1.999(12) Å und 2.031(10) Å im Kation 2 relativ zur W–NO-Bindung *trans* zu W–NCMe (1.805(9) Å bzw. 1.818(9) Å) wieder im erwarteten Sinne gedehnt. Auffällig sind die mit 2.624(3) Å und 2.604(3) Å (Kation 1) bzw. 2.633(3) Å und 2.608(3) Å (Kation 2) stark aufgeweiteten W–P-Bindungen sowie der auf 104.5(1)° (Kation 1) bzw. 106.3(1)° (Kation 2) gespreizte Bindungswinkel P–W–P zwischen den beiden *cis*-ständigen Phosphin-Liganden. Diese Strukturparameter spiegeln offensichtlich die sterische Hindernis der räumlich anspruchsvollen *ortho*-methoxy-substituierten Phosphin-Liganden wieder.

Das Strukturmodell der durch Deprotonierung von **2a** erhaltenen Amido-Verbindung *cis-11* ist in Abb. 3 dargestellt. Gegenüber der W–NH₂-Bindung im Kation **2a** (d(W–N) = 2.294(9) Å [1]) ist die W–NH-Bindung in *cis-11* auf 2.131(6) Å verkürzt. Ein ähnlicher Effekt wird z.B. auch an den Platin-Komplexen [Pt(η^2 -Ph₂PC₆H₄NH₂-2)]²⁺ und [Pt(η^2 -Ph₂PC₆H₄NH-2)] beobachtet [12] und kann auf die Ausbildung von N →

W-p π -d π -Mehrfachbindungsanteilen zurückgeführt werden [13].

6. Schlußfolgerung

Während sich der 2-Diphenylphosphinoanilin-Ligand als solcher problemlos in die Koordinationssphäre von Carbonyl(nitrosyl)wolfram-Komplexen einführen lässt [1], gelingt die Koordination von 2-Diphenylphosphinobenzoesäure und 2-Diphenylphosphinophenol in Form der OH-Säuren nicht. Spontane Protonenübertragung von der koordinierten Hydroxyl- bzw. Carboxylfunktion auf die P-Atome noch freier Ligandmoleküle Ph₂PC₆H₄OH-2 und Ph₂PC₆H₄CO₂H-2 führen stattdessen zu Phenolato- und Benzoatoprodukten wie 7–9. Koordinativ gebundene NH₂-Funktionen in Carbonyl(nitrosyl)wolfram-Derivaten des 2-Diphenylphosphinoanilins werden dagegen erst durch starke Basen wie H[–] (in Form komplexer Bor- und Aluminiumhydride) oder OH[–] (auf Kieselgeloberflächen) unter Bildung von Anilidoprodukten des Typs 11 und 12 deprotoniert. Metall–Wasserstoff-Bindungen können in diesen Systemen auf den beschrittenen Wegen daher nicht geknüpft werden. Der 2-Diphenylphosphinoanilin-Ligand Ph₂PC₆H₄OMe-2 neigt im Unterschied zu den entsprechenden Anilin-, Phenol- und Benzoesäuredervaten nicht zur Ausbildung von Chelatringen.

7. Experimenteller Teil

7.1. Arbeitstechnik und apparatusives Instrumentarium

All Reaktionen wurden unter Stickstoffatmosphäre in getrockneten, N₂-gesättigten Lösemitteln durchgeführt. IR-Spektren: Mattson PolarisTM und Bio-Rad FTS-45. NMR-Spektren: Jeol FT-JNM-GX 270 und Jeol FT-JNM-EX 270 (270 MHz bei ¹H, 67.7 MHz bei ¹³C, 109.4 MHz bei ³¹P), Varian Gemini 200 (200 MHz bei ¹H, 50.3 MHz bei ¹³C) sowie Varian Gemini 300 (300 MHz bei ¹H, 75.5 MHz bei ¹³C, 121.5 MHz bei ³¹P); ¹H- und ¹³C-Verschiebungen relativ zu einem internen TMS-Standard; Referenzierung der ³¹P-NMR-Spektren gegen H₃PO₄ extern; Verschiebungen zu tiefem Feld mit positivem Vorzeichen. Röntgenstrukturanalysen auf Vierkreisdiffraktometern der Fabrikate Philips PW 1100 sowie Nicolet R3.

7.2. Ausgangsverbindungen

Die Synthesen von Ph₂PC₆H₄NH₂-2 [14], Ph₂PC₆H₄OH-2 [15], Ph₂PC₆H₄OMe-2 [16], Ph₂PC₆H₄CO₂-H-2 [17] [W(CO)₅L] (L = PMe₃, PPhMe₂ und PPh₂Me) [18] und [W(CO)₂(NO)(MeCN)₃][A] (A = BF₄[–] und SbF₆[–]) [7] erfolgten nach den zitierten, z.T. modifizierten Literaturvorschriften.

7.3. Komplex-Synthesen

7.3.1. [W(CO)(NO)(η²-Ph₂PC₆H₄NH₂-2)₂]BF₄] (trans-4-BF₄)

Das trans-Isomer entsteht in quantitativer Ausbeute bei längerem Stehen einer Lösung von cis-4-BF₄ [1] in CH₂Cl₂ bei Raumtemperatur. Kristallisieren aus CH₂Cl₂/Ether und CH₂Cl₂/n-Pentan liefert große rot-orange Kristalle. Anal. Gef.: C, 48.99; H, 3.44; N, 4.02. C₃₇H₃₄BF₄N₃O₃P₂W (901.31) ber.: C, 49.31; H, 3.80; N, 4.67%.

7.3.2. [W(CO)₃(NO)(PMe₃)(Ph₂PC₆H₄OMe-2)]PF₆] (5) und [W(CO)₂(NO)(PMe₃)(η²-Ph₂PC₆H₄OMe-2)]PF₆] (6)

Zu einer Lösung von 0.96 g (2.4 mmol) [W(CO)₅-(PMe₃)] in 20 ml CH₂Cl₂ werden 0.47 g (2.7 mmol) NO[PF₆] gegeben, wobei unter heftiger Gasentwicklung eine orange Suspension entsteht. Nach 30 min. Röhren filtriert man über Kieselgur, versetzt die gelb-orange Lösung des in situ gebildeten Komplexes [W(CO)₃-(NO)(PMe₃)(PF₆)] [4] mit 0.82 g (2.8 mmol) Ph₂PC₆-H₄OMe-2 in 10 ml CH₂Cl₂ und röhrt 5 h bei Raumtemperatur, wobei eine langsame Farbvertiefung zu beobachten ist. Die spektroskopische Charakterisierung des nach Abkondensieren des Lösemittels erhaltenen Produkts weist dieses als Gemisch der Komplexe 5 und 6 aus.

7.3.3. [W(CO)₂(NO)(PMe₃)(η²-Ph₂PC₆H₄O-2)] (7a)

Die Lösung des aus 0.63 g (1.6 mmol) [W(CO)₅-(PMe₃)] und 0.29 g (1.7 mmol) NO[PF₆] in 15 ml CH₂Cl₂ in situ erzeugten Komplexes [W(CO)₃(NO)-(PMe₃)(PF₆)] (s.o.) wird mit 0.64 g (2.3 mmol) Ph₂PC₆H₄OH-2 in 15 ml CH₂Cl₂ 5 h bei Raumtemperatur gerührt. Sie ändert dabei ihre Farbe unter Gasentwicklung von rot nach orange. Das nach Eindampfen des Lösemittels erhaltene Rohprodukt wird in CH₂Cl₂/Ether (20 : 1) an neutralem Kieselgel chromatographiert und anschließend aus CH₂Cl₂/Toluol/n-Hexan umkristallisiert. Die hellgelben Kristalle werden mit 2 × 5 ml CH₂Cl₂/n-Hexan (1 : 3) gewaschen und im Vakuum getrocknet. Ausb.: 0.23 g (15%). Anal. Gef.: C, 44.37; H, 3.65; N, 1.96. C₂₃H₂₃NO₄P₂W (623.23) ber.: C, 44.33; H, 3.72; N, 2.25%.

7.3.4. [W(CO)₂(NO)(PPhMe₂)(η²-Ph₂PC₆H₄O-2)] (7b)

Synthese wie bei 7a aus 0.66 g (1.4 mmol) [W(CO)₅(PPhMe₂)], 0.35 g (2.0 mmol) NO[PF₆] und 0.78 g (2.8 mmol) Ph₂PC₆H₄OH-2 in CH₂Cl₂. Das nach Abkondensieren des Lösemittels erhaltene Rohprodukt wird in 5 ml CH₂Cl₂ gelöst und der größte Teil der Verunreinigungen durch Zugabe von 20 ml Toluol/n-Hexan (1 : 1) als öliger Niederschlag entfernt. Nach Abziehen des Lösemittels im Vakuum wird aus

CH_2Cl_2 /Toluol/*n*-Hexan umkristallisiert. Die gelben Kristalle von **7b** werden nach Waschen mit 2×2 ml CH_2Cl_2 /*n*-Hexan (1:1) im Vakuum getrocknet und durch IR- und NMR-Spektroskopie charakterisiert. Das Produkt ließ sich nicht vollständig von anhaftenden Resten des in einer Nebenreaktion entstehenden Komplexes *cis,cis*-**9** befreien.

7.3.5. $[\text{W}(\text{CO})_2(\text{NO})(\text{PPh}_2\text{Me})(\eta^2\text{-}\text{Ph}_2\text{PC}_6\text{H}_4\text{O}-2)]$ (**7c**)

Darstellung, Reinigung und Charakterisierung analog zu **7b** aus 1.03 g (2.0 mmol) $[\text{W}(\text{CO})_5(\text{PPh}_2\text{Me})]$, 0.37 g (2.1 mmol) $\text{NO}[\text{PF}_6^-]$ und 0.75 g (2.7 mmol) $\text{Ph}_2\text{PC}_6\text{H}_4\text{OH}-2$ in CH_2Cl_2 .

7.3.6. $[\text{W}(\text{CO})_2(\text{NO})(\text{PMMe}_3)(\eta^2\text{-}\text{Ph}_2\text{PC}_6\text{H}_4\text{CO}_2\text{-2})]$ (**8a**)

Aus 0.80 g (2.0 mmol) $[\text{W}(\text{CO})_5(\text{PMMe}_3)]$ in 20 ml CH_2Cl_2 und 0.39 g (2.2 mmol) $\text{NO}[\text{PF}_6^-]$ wird, wie unter 7.3.2 beschrieben, eine Lösung von $[\text{W}(\text{CO})_3(\text{NO})(\text{PMMe}_3)(\text{FPF}_5)]$ erzeugt und mit 0.77 g (2.5 mmol) $\text{Ph}_2\text{PC}_6\text{H}_4\text{CO}_2\text{H}-2$ in 20 ml CH_2Cl_2 zur Reaktion gebracht. Beim Rühren bei Raumtemperatur (5 h) hellt sich die ursprünglich gelb-orange Mischung unter lebhafter Gasentwicklung auf. Das nach Eindampfen des Lösemittels erhaltene gelbe Rohprodukt wird in CH_2Cl_2 /Ether (20:1) an neutralem Kieselgel chromatographiert und anschließend aus CH_2Cl_2 /Toluol/*n*-Hexan umkristalliert. Die IR- und NMR-spektroskopische Identifizierung zeigt, daß auch das gereinigte Produkt stets noch Reste des nicht vollständig entfernbaren Ausgangskomplexes und des als Phosphoniumion vorliegenden freien Liganden enthält.

7.3.7. $[\text{W}(\text{CO})_2(\text{NO})(\text{PPhMe}_2)(\eta^2\text{-}\text{Ph}_2\text{PC}_6\text{H}_4\text{CO}_2\text{-2})]$ ($[\text{PF}_6^-]$) (**8b**)

Darstellung, Reinigung und Charakterisierung analog zu **8a** aus 0.90 g (1.9 mmol) $[\text{W}(\text{CO})_5(\text{PPhMe}_2)]$, 0.44 g (2.5 mmol) $\text{NO}[\text{PF}_6^-]$ und 1.25 g (4.1 mmol) $\text{Ph}_2\text{PC}_6\text{H}_4\text{CO}_2\text{H}-2$ in CH_2Cl_2 .

7.3.8. $[\text{W}(\text{CO})_2(\text{NO})(\text{PPh}_2\text{Me})(\eta^2\text{-}\text{Ph}_2\text{PC}_6\text{H}_4\text{CO}_2\text{-2})]$ ($[\text{PF}_6^-]$) (**8c**)

Synthese wie bei **8a** aus 0.91 (1.7 mmol) $[\text{W}(\text{CO})_5(\text{PPh}_2\text{Me})]$, 0.34 g (1.9 mmol) $\text{NO}[\text{PF}_6^-]$ und 0.74 g (2.4 mmol) $\text{Ph}_2\text{PC}_6\text{H}_4\text{CO}_2\text{H}-2$ in CH_2Cl_2 .

7.3.9. $[\text{W}(\text{CO})_2(\text{NO})(\eta^1\text{-}\text{Ph}_2\text{PC}_6\text{H}_4\text{OH}-2)(\eta^2\text{-}\text{Ph}_2\text{PC}_6\text{H}_4\text{O}-2)]$ (*cis,cis*-**9**)

0.45 g (0.7 mmol) $[\text{W}(\text{CO})_2(\text{NO})(\text{MeCN})_3]$ ($[\text{SbF}_6^-]$) und 0.50 g (1.8 mmol) $\text{Ph}_2\text{PC}_6\text{H}_4\text{OH}-2$, gelöst in 10 ml CH_2Cl_2 , werden 15 min. bei Raumtemperatur gerührt. Der nach Abziehen des Lösemittels verbleibende gelbe Rückstand in 5 ml CH_2Cl_2 gelöst, die Lösung filtriert und auf -50°C gekühlt. Nach Überschichten mit 15 ml *n*-Hexan läßt man bei 5°C stehen und erhält den Komplex in Form hellgelber Kristalle, die nach Trocknen im

Vakuum durch IR- und NMR-Spektroskopie als *cis,cis*-**9** identifiziert werden. Ausb.: 0.06 g (11%).

7.3.10. $[\text{W}(\text{CO})_2(\text{NO})(\text{MeCN})(\text{Ph}_2\text{PC}_6\text{H}_4\text{OMe}-2)_2]$ ($[\text{SbF}_6^-]$) (**10-SbF₆**)

Eine Lösung von 0.45 g (0.7 mmol) $[\text{W}(\text{CO})_2(\text{NO})(\text{MeCN})_3]$ ($[\text{SbF}_6^-]$) und 0.52 g (1.8 mmol) $\text{Ph}_2\text{PC}_6\text{H}_4\text{OMe}-2$ in 10 ml CH_2Cl_2 läßt man 15 min bei Raumtemperatur röhren und entfernt dann das Lösemittel im Vakuum. Umkristallisieren aus CH_2Cl_2 /Toluol/*n*-Hexan ergibt 0.25 g (29%) **10-SbF₆** in Form hellgelber Kristalle. Anal. Gef.: C, 44.03; H, 3.01; N, 1.97. $\text{C}_{42}\text{H}_{37}\text{F}_6\text{N}_2\text{O}_5\text{P}_2\text{SbW}$ (1131.31) ber.: C, 44.59; H, 3.30; N, 2.48%.

7.3.11. $[\text{W}(\text{CO})_2(\text{NO})(\text{MeCN})(\text{Ph}_2\text{PC}_6\text{H}_4\text{OMe}-2)_2]$ ($[\text{BF}_4^-]$) (**10-BF₄**)

Darstellung wie für das SbF₆-Derivat beschrieben aus 0.33 g (0.7 mmol) $[\text{W}(\text{CO})_2(\text{NO})(\text{MeCN})_3]$ ($[\text{BF}_4^-]$) und 0.52 g (1.8 mmol) $\text{Ph}_2\text{PC}_6\text{H}_4\text{OMe}-2$ in CH_2Cl_2 .

7.3.12. $[\text{W}(\text{CO})_2(\text{NO})(\text{PMMe}_3)(\eta^2\text{-}\text{Ph}_2\text{PC}_6\text{H}_4\text{NH}-2)]$ (*cis*-**II**)

Der Komplex bildet sich in annähernd quantitativer Ausbeute bei Chromatographie von **2a** in CH_2Cl_2 /Ether (10:1) an neutralem Kieselgel. Nach Umkristallisieren aus CH_2Cl_2 /*n*-Hexan und Waschen mit 1×3 ml *n*-Hexan lassen sich große rot-orange Kristalle isolieren. Anal. Gef.: C, 44.23; H, 3.71; N, 4.15. $\text{C}_{23}\text{H}_{24}\text{N}_2\text{O}_3\text{P}_2\text{W}$ (622.25) ber.: C, 44.40; H, 3.89; N, 4.50%.

7.3.13. $[\text{W}(\text{CO})_2(\text{NO})(\text{PMMe}_3)(\eta^2\text{-}\text{Ph}_2\text{PC}_6\text{H}_4\text{NH}-2)]$ (*trans*-**II**)

Das Isomer entsteht langsam beim Erwärmen einer Lösung des *cis*-Komplexes in Methylenchlorid auf 40°C . Identifizierung durch ^{31}P -NMR-spektroskopische Daten.

7.3.14. Umsetzungen von **2a**, 3-SbF₆ und *cis*-4-BF₄ mit Hydridüberträgern

Zu Lösungen von ca. 0.05 mmol der Komplexe in 2 ml THF wird das Hydrid-Reagens in fester Form ($\text{Li}[\text{AlH}_4]$ bzw. $\text{Na}[\text{BH}(\text{OMe})_3]$) oder als Lösung ($\text{Li}[\text{BHEt}_3]$, 1 mol l⁻¹ in THF) zugegeben, wobei neben einer kräftigen Gasentwicklung eine Änderung der Farbe nach orange zu erkennen ist. Nach 5–10 min. Röhren bei Raumtemperatur bzw. in der Siedehitze (vgl. Tabelle 5) wird das Lösemittel abkondensiert. Für die NMR-Spektroskopie wird in THF-d_8 oder CDCl_3 , für die IR-Spektroskopie in CH_2Cl_2 gelöst. Als Reaktionsprodukte werden die deprotonierten Neutralkomplexe $[\text{W}(\text{CO})_2(\text{NO})(\text{PMMe}_3)(\eta^2\text{-}\text{Ph}_2\text{PC}_6\text{H}_4\text{NH}-2)]$ (*cis*-**11**, aus **2a**) bzw. $[\text{W}(\text{CO})(\text{NO})(\eta^2\text{-}\text{Ph}_2\text{PC}_6\text{H}_4\text{NH}_2\text{-2})(\eta^2\text{-}\text{Ph}_2\text{PC}_6\text{H}_4\text{NH}-2)]$ (**12**, aus 3-SbF₆ und *cis*-4-BF₄) identifiziert. Die Bildung von Hydridowolfram-Verbindungen ist auch bei direkter Verfolgung der Reaktionen im NMR-Röhrchen nicht zu beobachten.

Tabelle 5

Reaktionsbedingungen für die Deprotonierungen von **2a**, **3-SbF₆** und **cis-4-BF₄**

Nr.	Hydrid-Reagens	Molare Verhältnis	Zeit [min]	Temperatur [°C]
	Komplex: Hydrid			
2a , 3-SbF₆ bzw. cis-4-BF₄	Li[AlH ₄]	1:1	10	20
	Na[BH(OMe) ₃]	1:1	10	20
	Li[BHET ₃]	1:1	10	20
2a , 3-SbF₆ bzw. cis-4-BF₄	Na[BH(OMe) ₃]	1:2	5	66
	Li[BHET ₃]	1:2	5	66
2a , 3-SbF₆ bzw. cis-4-BF₄	Na[BH(OMe) ₃]	1:3	5	66
	Li[BHET ₃]	1:3	5	66

7.4. Strukturanalytische Arbeiten [19]

7.4.1. $[W(CO)(NO)(\eta^2\text{-Ph}_2\text{PC}_6\text{H}_4\text{NH}_2\text{-}2)_2][BF_4]\cdot H_2O$ (*trans*-4-BF₄)

Einkristalline Prismen aus CH₂Cl₂/Ether; Kristallgröße ca. 0.30 × 0.20 × 0.15 mm; Philips PW1100 (18 ± 2°C); Ag-K α-Strahlung ($\lambda = 0.56014 \text{ \AA}$); $M_r = 901.30$ (C₃₇H₃₄BF₄N₃O₃P₂W); triklin $P\bar{1}$; $a = 9.2803(6) \text{ \AA}$, $b = 11.0252(4) \text{ \AA}$, $c = 18.4393(9) \text{ \AA}$, $\alpha = 91.835(3)^\circ$, $\beta = 90.199(4)^\circ$, $\gamma = 98.310(4)^\circ$, $V = 1865.8(2) \text{ \AA}^3$; $Z = 2$, $D_c = 1.604 \text{ g cm}^{-3}$; $\mu(\text{Ag-K } \alpha) = 17.5 \text{ cm}^{-1}$. ω -scan ($6^\circ \leq 2\theta \leq 36^\circ$; $-10 \leq h \leq 10$, $-12 \leq k \leq 12$, $-2 \leq l \leq 20$); 5218 unabhängige Reflexe mit 4294 signifikanten Strukturfaktoren ($|F_o| > 4\sigma |F_c|$); Absorptionskorrektur nach der Gauß'schen Integrationsmethode (ABSORB) [20]). Lösung durch Direkte Methoden (SHELXS 86) [21]); Verfeinerung nach Vollmatrix-LSQ-Verfahren; anisotrope Auslenkungsparameter für alle Nicht-H-Atome; Phenyl-H-Atome in geometrisch idealisierten Positionen; Amino-H-Atome frei verfeinert; alle H-Atome mit isotropem Verhalten (SHELXL 93 [22]); Gütefaktoren: $wR_{\text{F}^2} = 0.078$ ($R = 0.054$) für all 5218 Daten, $R = 0.035$ für 4294 $|F_o| > 4\sigma |F_c|$; minimierte Funktion: $\sum w(F_o^2 - F_c^2)^2$ mit $w = 1/(\sigma^2(F_o^2) + [0.0369 (\text{Max}(F_o^2, 0) + 2 F_c^2)/3]^2)$. Ergebnisse in Tabelle 6.

7.4.2. $[W(CO)_2(NO)(MeCN)(\text{Ph}_2\text{PC}_6\text{H}_4\text{OMe}-2)_2][SbF_6]\cdot 0.5 \text{ CH}_2\text{Cl}_2$ (**10-SbF₆**)

Einkristalle aus CH₂Cl₂/Toluol/n-Hexan; Kristallgröße ca. 0.35 × 0.35 × 0.22 mm; Nicolet R3 (22°C); Mo-K α-Strahlung ($\lambda = 0.71073 \text{ \AA}$); $M_r = 1173.77$ (C_{42.5}H₃₈ClF₆N₂O₅SbW); triklin $P\bar{1}$; $a = 14.671(6) \text{ \AA}$, $b = 17.483(6) \text{ \AA}$, $c = 18.273(7) \text{ \AA}$, $\alpha = 95.46(2)^\circ$, $\beta = 91.14(2)^\circ$, $\gamma = 92.70(2)^\circ$, $V = 4659(3) \text{ \AA}^3$; $Z = 4$, $D_c = 1.673 \text{ g cm}^{-3}$; $\mu(\text{Mo-K } \alpha) = 32.4 \text{ cm}^{-1}$. $\omega/2\theta$ -scan ($4^\circ \leq 2\theta \leq 50^\circ$; $-12 \leq h \leq 12$, $-20 \leq k \leq 20$, $0 \leq l \leq 21$); 14297 unabhängige Reflexe mit 7428 signifikanten Strukturfaktoren ($|F_o| > 4\sigma |F_c|$); Absorptionskorrektur (DIFABS [23]). Lösung durch Direkte Methoden; Verfeinerung nach Vollmatrix-LSQ-Verfahren mit anisotro-

pen Auslenkungsparametern für alle Nicht-H-Atome (außer CH₂Cl₂); H-Atome in geometrisch idealisierten Positionen mit isotropem Verhalten (Siemens SHELXTL

Tabelle 6

Atomkoordinaten ($\times 10^4$) und äquivalente isotrope Temperaturfaktoren U_{Eq}^a ($\text{\AA}^2 \times 10^3$) von $[W(CO)(NO)(\eta^2\text{-Ph}_2\text{PC}_6\text{H}_4\text{NH}_2\text{-}2)_2][BF_4]\cdot H_2O$ (*trans*-4-BF₄)^b

ATom	x	y	z	U_{Eq}
W(1)	1350(1)	3679(1)	2909(1)	34(1)
N(1)	330(7)	4184(5)	2986(3)	55(2)
O(1)	4608(5)	4516(5)	3050(3)	74(2)
C(2)	928(7)	5012(6)	3493(4)	44(2)
O(2)	629(7)	5846(5)	3858(3)	96(2)
P(1)	1141(2)	2273(2)	3923(1)	36(1)
C(111)	-762(6)	2224(5)	4175(3)	37(2)
C(112)	-1314(7)	1940(6)	4848(4)	48(2)
C(113)	-2759(8)	2015(7)	5004(4)	63(2)
C(114)	-3640(8)	2362(7)	4480(4)	62(2)
C(115)	-3115(7)	2648(7)	3801(4)	54(2)
C(116)	-1681(7)	2588(6)	3647(4)	41(2)
N(11)	-1082(5)	2901(5)	2934(3)	46(2)
C(121)	1369(7)	731(5)	3631(3)	34(2)
C(122)	2774(8)	477(7)	3458(4)	51(2)
C(123)	2957(10)	-640(8)	3138(4)	71(2)
C(124)	1767(11)	-1514(7)	2991(5)	77(3)
C(125)	396(10)	-1298(7)	3153(5)	74(3)
C(126)	193(8)	-159(6)	3470(4)	51(2)
C(131)	2186(6)	2556(6)	4763(3)	40(2)
C(132)	2448(7)	1591(6)	5196(4)	51(2)
C(133)	3239(8)	1830(8)	5829(4)	62(2)
C(134)	3765(8)	3014(9)	6044(4)	71(2)
C(135)	3498(10)	3971(8)	5625(5)	85(3)
C(136)	2714(8)	3742(7)	4984(4)	60(2)
P(2)	1015(2)	4539(1)	1717(1)	35(1)
C(211)	1656(6)	3445(6)	1096(3)	37(2)
C(212)	1961(7)	3658(6)	357(4)	49(2)
C(213)	2427(9)	2774(8)	-79(4)	73(2)
C(214)	2609(10)	1660(8)	201(4)	84(3)
C(215)	2325(9)	1444(7)	922(4)	67(2)
C(216)	1868(7)	2327(6)	1360(3)	40(2)
N(21)	1623(6)	2081(4)	2120(3)	43(1)
C(221)	1918(7)	6035(5)	1446(3)	37(2)
C(222)	3329(7)	6410(6)	1692(4)	50(2)
C(223)	4098(8)	7506(7)	1475(5)	64(2)
C(224)	3453(9)	8228(6)	1033(5)	62(2)
C(225)	2067(9)	7868(7)	782(4)	71(2)
C(226)	1285(8)	6773(6)	996(4)	58(2)
C(231)	-893(6)	4522(6)	1485(3)	37(2)
C(232)	-1667(7)	3641(6)	1035(4)	53(2)
C(233)	-3144(9)	3588(8)	935(5)	76(3)
C(234)	-3865(8)	4430(9)	1274(5)	77(3)
C(235)	-3110(8)	5314(8)	1740(5)	68(2)
C(236)	-1675(8)	5367(7)	1841(4)	56(2)
B(1)	-2507(15)	-21(3)	1838(8)	99(4)
F(1)	-3170(9)	40(9)	2482(5)	192(4)
F(2)	-2241(8)	-1212(7)	1764(5)	167(3)
F(3)	-3375(7)	196(6)	1305(4)	140(2)
F(4)	-1284(6)	750(6)	1905(4)	136(2)
O(3)	-5153(10)	1810(9)	2200(5)	169(4)

^a Berechnet als ein Drittel der Spur des orthogonalen U_{ij} -Tensors.

^b Atome W(1)–C(236): $[W(CO)(NO)(\eta^2\text{-Ph}_2\text{PC}_6\text{H}_4\text{NH}_2\text{-}2)_2]^{+}$; Atome B(1)–F(4): $[\text{BF}_4]^{-}$; Atome O(3): Solvat-H₂O.

Tabelle 7

Atomkoordinaten ($\times 10^4$) und äquivalente isotrope Temperaturfaktoren U_{Eq} ^a ($\text{\AA}^2 \times 10^3$) von $[\text{W}(\text{CO})_2(\text{NO})(\text{MeCN})(\text{Ph}_2\text{PC}_6\text{H}_4\text{OMe}_2)_2]\text{SbF}_6 \cdot 0.5 \text{CH}_2\text{Cl}_2$ (**10-SbF₆**)^b

Atom	x	y	z	U_{Eq}
W(1)	2291(1)	8165(1)	4033(1)	43(1)
P(1)	1249(2)	8644(1)	3003(1)	44(1)
P(2)	3606(2)	7499(2)	3323(1)	47(1)
O(1)	3190(6)	7637(5)	5465(5)	89(4)
O(2)	3390(6)	9657(4)	4296(5)	84(4)
O(3)	841(6)	8931(5)	5095(4)	93(4)
O(11)	1479(5)	10078(4)	3910(4)	68(3)
O(21)	3321(5)	6249(4)	4249(4)	71(3)
N(1)	2954(6)	9065(5)	4188(4)	59(3)
N(2)	1489(6)	7061(5)	3851(4)	50(3)
C(1)	2885(8)	7802(6)	4932(6)	62(4)
C(2)	1337(8)	8637(7)	4704(6)	62(4)
C(3)	1120(8)	6495(7)	3749(6)	58(4)
C(4)	602(9)	5740(6)	3599(9)	99(6)
C(101)	1010(7)	8037(6)	2152(5)	51(4)
C(102)	1474(7)	7390(6)	1988(5)	60(4)
C(103)	1302(9)	6888(7)	1351(6)	83(5)
C(104)	614(9)	7076(8)	859(7)	83(6)
C(105)	169(10)	7754(8)	1002(6)	90(6)
C(106)	353(9)	8221(7)	1638(6)	76(5)
C(107)	76(7)	8802(5)	3277(5)	46(3)
C(108)	–369(8)	9471(6)	3163(6)	63(5)
C(109)	–1264(9)	9537(6)	3302(7)	71(5)
C(110)	–1760(8)	8933(7)	3586(6)	71(5)
C(111)	–1330(8)	8278(6)	3719(6)	66(5)
C(112)	–406(7)	8220(6)	3596(6)	55(4)
C(113)	1651(7)	9563(5)	2704(5)	50(4)
C(114)	1905(8)	9652(6)	1998(6)	64(4)
C(115)	2251(10)	10332(8)	1801(8)	94(6)
C(116)	2372(10)	10931(8)	2319(10)	108(8)
C(117)	2122(9)	10884(7)	3040(8)	81(6)
C(118)	1758(7)	10197(6)	3234(6)	56(4)
C(119)	1507(10)	10694(7)	4471(7)	100(6)
C(201)	4050(7)	7927(6)	2517(5)	57(4)
C(202)	3765(8)	8626(7)	2337(6)	68(5)
C(203)	4157(10)	8970(8)	1775(7)	96(6)
C(204)	4808(10)	8640(10)	1386(7)	99(7)
C(205)	5121(10)	7952(9)	1539(7)	97(6)
C(206)	4740(9)	7590(7)	2113(7)	82(5)
C(207)	4670(7)	7508(7)	3873(6)	57(4)
C(208)	4970(8)	8164(8)	4271(6)	76(5)
C(209)	5804(10)	8225(10)	4662(7)	94(7)
C(210)	6309(10)	7620(12)	4668(8)	104(8)
C(211)	6025(10)	6933(11)	4261(9)	107(8)
C(212)	5207(9)	6883(8)	3858(7)	82(6)
C(213)	3351(7)	6488(5)	3015(5)	47(4)
C(214)	3218(7)	5961(6)	3535(6)	53(4)
C(215)	2970(8)	5194(6)	3325(7)	73(5)
C(216)	2830(8)	4952(7)	2578(8)	83(6)
C(217)	2943(8)	5458(7)	2059(7)	71(5)
C(218)	3212(7)	6230(6)	2278(6)	61(4)
C(219)	3398(11)	5731(8)	4799(7)	108(7)
W(2)	3162(1)	7500(1)	9048(1)	43(1)
P(3)	3652(2)	6382(1)	8090(1)	43(1)
P(4)	2897(2)	8675(1)	8304(1)	48(1)
O(4)	5072(6)	8089(5)	9477(5)	97(4)
O(5)	3326(7)	6396(5)	10288(5)	93(4)

Tabelle 7 (Fortsetzung)

Atom	x	y	z	U_{Eq}
O(6)	2358(6)	8506(4)	10384(4)	77(3)
O(31)	2361(6)	5484(4)	8891(4)	70(3)
O(41)	1138(5)	8780(4)	9028(4)	64(3)
N(3)	4320(7)	7853(5)	9305(4)	59(3)
N(4)	1796(6)	7061(4)	8673(5)	49(3)
C(5)	3248(8)	6731(6)	9786(6)	59(4)
C(6)	2635(7)	8178(6)	9884(6)	55(4)
C(7)	1161(8)	6770(6)	8355(6)	57(4)
C(8)	387(8)	6381(8)	7937(7)	90(6)
C(301)	4692(7)	6550(5)	7577(5)	50(4)
C(302)	4726(8)	6363(7)	6825(6)	70(5)
C(303)	5522(9)	6522(8)	6438(7)	86(6)
C(304)	6255(10)	6873(7)	6809(10)	91(7)
C(305)	6255(8)	7041(7)	7575(8)	75(6)
C(306)	5475(7)	6885(6)	7941(6)	63(4)
C(307)	3889(7)	5515(6)	8528(5)	51(4)
C(308)	4736(8)	5211(7)	8519(6)	68(5)
C(309)	4905(10)	4578(8)	8919(8)	90(6)
C(310)	4225(11)	4243(8)	9289(7)	88(6)
C(311)	3347(10)	4520(7)	9312(6)	80(6)
C(312)	3197(9)	5155(6)	8921(6)	61(5)
C(313)	2830(7)	6038(5)	7354(5)	45(3)
C(314)	2424(7)	6587(6)	6965(5)	56(4)
C(315)	1830(8)	6371(7)	6367(6)	71(5)
C(316)	1628(8)	5592(8)	6179(7)	76(5)
C(317)	2046(9)	5062(7)	6542(7)	76(5)
C(318)	2640(8)	5282(6)	7132(6)	64(4)
C(319)	1663(9)	5201(7)	9341(8)	94(6)
C(401)	3663(8)	8934(6)	7588(6)	57(4)
C(402)	3630(12)	9628(8)	7284(9)	125(8)
C(403)	4227(13)	9840(10)	6767(10)	137(9)
C(404)	4859(12)	9348(10)	6499(9)	125(9)
C(405)	4823(12)	8659(10)	6726(10)	142(9)
C(406)	4262(10)	8446(8)	7288(8)	106(7)
C(9407)	1767(7)	8605(5)	7857(5)	50(4)
C(408)	1646(8)	8451(5)	7104(6)	61(4)
C(409)	767(10)	8317(6)	6793(7)	75(5)
C(410)	35(11)	8343(7)	7231(9)	88(6)
C(411)	129(9)	8529(7)	7961(8)	74(5)
C(412)	982(8)	8637(6)	8284(6)	59(5)
C(413)	2963(8)	9593(6)	8909(6)	55(4)
C(414)	3621(8)	9694(6)	9457(6)	63(4)
C(415)	3681(9)	10387(7)	9912(7)	76(5)
C(416)	3109(10)	10945(7)	9812(8)	82(6)
C(417)	2470(10)	10860(7)	9280(8)	95(6)
C(418)	2357(9)	10173(6)	8812(7)	78(5)
C(419)	424(9)	9068(8)	9462(7)	107(7)
Sb(1)	8921(1)	6546(1)	5441(1)	56(1)
F(11)	10042(6)	7033(7)	5365(5)	162(5)
F(12)	7776(6)	6064(6)	5475(5)	147(5)
F(13)	9373(8)	5607(5)	5192(5)	158(5)
F(14)	8408(6)	7465(4)	5693(5)	139(4)
F(15)	8703(6)	6637(4)	4454(4)	108(4)
F(16)	9198(8)	6442(6)	6403(4)	160(5)
Sb(2)	1774(1)	13129(1)	745(1)	83(1)
F(21)	1977(18)	12172(7)	794(10)	414(17)
F(22)	1870(8)	13025(7)	–258(4)	176(6)
F(23)	1479(15)	14068(8)	714(10)	301(13)
F(24)	1670(5)	13241(6)	1758(4)	123(4)

Tabelle 7 (Fortsetzung)

F(25)	536(7)	12904(9)	694(5)	201(7)
F(26)	2918(7)	13462(13)	806(6)	313(13)
Cl(1)	7140(6)	6951(5)	2465(4)	231(3)
Cl(2)	8862(5)	6420(4)	2238(4)	191(2)
C(9)	8135(14)	7140(12)	1993(11)	156(7)

^a Siehe Tabelle 6.^b Atome W(1)–C(419): [W(CO)₂(NO)(MeCN)(η¹-Ph₂PC₆H₄OMe₂)₂]⁺ (Kationen 1 und 2); Atome Sb(1)–F(26): [SbF₆][−] (Anionen 1 und 2); Atome Cl(1)–C(9): Solvat-CH₂Cl₂.

PLUS); $R = 0.111$ und $wR_F = 0.069$ für alle 14297 Daten, $R = 0.039$ und $wR_F = 0.051$ für 7428 $|F_o| > 4\sigma |F_c|$; minimierte Funktion: $\sum w(|F_o| - |F_c|)^2$ mit $w = 1/[\sigma^2(F_o) + 0.005(F_o^2)]$. Ergebnisse in Tabelle 7.

7.4.3. [W(CO)₂(NO)(PMe₃)(η²-Ph₂PC₆H₄NH-2)] (*cis*-11)

Einkristalline Prismen aus CH₂Cl₂/n-Hexan; Kristallgröße ca. 0.35 × 0.30 × 0.28 mm; Nicolet R3 (22°C); Mo-Kα-Strahlung ($\lambda = 0.71073 \text{ \AA}$); $M_r = 622.25$ (C₂₃H₂₄N₂O₃P₂W); monoklin $P2_1/n$; $a = 10.150(5) \text{ \AA}$, $b = 14.366(8) \text{ \AA}$, $c = 17.232(8) \text{ \AA}$, $\beta =$

Tabelle 8

Atomkoordinaten ($\times 10^4$) und äquivalente isotrope Temperaturfaktoren U_{Eq} ^a ($\text{\AA}^2 \times 10^3$) von [W(CO)₂(NO)(PMe₃)(η²-Ph₂PC₆H₄NH-2)] (*cis*-11)

Atom	x	y	z	U_{Eq}
W(1)	1483(1)	6922(1)	2921(1)	46(1)
P(1)	−544(1)	5839(1)	2690(1)	42(1)
P(2)	300(2)	7955(1)	1724(1)	55(1)
O(1)	3010(6)	5936(4)	1893(3)	85(2)
O(2)	3110(6)	5806(4)	4489(3)	91(2)
O(3)	3637(5)	8501(4)	3632(3)	89(2)
N(1)	2444(5)	6324(3)	2322(3)	57(2)
N(2)	171(5)	7603(3)	3514(3)	58(2)
C(1)	2481(7)	6200(5)	3927(4)	62(2)
C(2)	2864(7)	7940(5)	3344(4)	64(2)
C(101)	−243(5)	4695(3)	3151(3)	44(2)
C(102)	223(7)	4629(4)	3987(3)	57(2)
C(103)	579(7)	3764(5)	4366(4)	71(3)
C(104)	490(7)	2977(4)	3922(4)	59(2)
C(105)	5(7)	3019(4)	3103(4)	61(2)
C(106)	−376(6)	3877(4)	2702(3)	53(2)
C(107)	−1561(5)	5624(4)	1645(3)	46(2)
C(108)	−2927(6)	5867(4)	1354(3)	62(2)
C(109)	−3631(7)	5735(5)	527(4)	77(3)
C(110)	−2984(8)	5339(5)	22(4)	70(3)
C(111)	−1644(7)	5088(5)	305(4)	66(2)
C(112)	−925(6)	5249(4)	1112(3)	55(2)
C(113)	−1602(5)	6431(3)	3216(3)	45(2)
C(114)	−1081(6)	7305(4)	3559(3)	45(2)
C(115)	−1919(7)	7812(4)	3947(3)	52(2)
C(116)	−3107(6)	7445(5)	4036(3)	60(2)
C(117)	−3584(6)	6571(5)	3725(4)	62(2)
C(118)	−2823(6)	6074(4)	3318(3)	54(2)
C(201)	369(11)	7516(7)	761(4)	101(4)
C(202)	1075(9)	9096(5)	1754(6)	101(4)
C(203)	−1492(7)	8233(5)	1554(6)	83(3)

^a Siehe Tabelle 6.

106.45(2)°, $V = 2410(2) \text{ \AA}^3$; $Z = 4$, $D_c = 1.715 \text{ g cm}^{-3}$; $\mu(\text{Mo-K}\alpha) = 49.5 \text{ cm}^{-1}$. $\omega/2\theta$ -scan ($3^\circ \leq 2\theta \leq 52^\circ$; $0 \leq h \leq 12$, $0 \leq k \leq 17$, $-21 \leq l \leq 20$); 4772 unabhängige Reflexe mit 3313 signifikanten Strukturfaktoren ($|F_o| > 4\sigma |F_c|$); empirische Absorptionskorrektur (ψ -scan). Lösung und Verfeinerung durch Direkte Methoden und anschließende Vollmatrix-LSQ-Verfahren; anisotrope Auslenkungsparameter für alle Nicht-H-Atome; H-Atome in geometrisch idealisierten Positionen (Amid-Wasserstoffatom H(2) frei verfeinert) mit isotropem Verhalten (Siemens SHELLXTL PLUS); Gütefaktoren: $R = 0.058$ und $wR_F = 0.054$ für alle 4772 Daten, $R = 0.029$ und $wR_F = 0.041$ für 3313 $|F_o| > 4\sigma |F_c|$; minimierte Funktion: $\sum w(|F_o| - |F_c|)^2$ mit $w = 1/[\sigma^2(F_o) + 0.005(F_o^2)]$. Ergebnisse in Tabelle 8.

Dank

Die Arbeit wurde vom Fonds der Chemischen Industrie und vom Schweizer Nationalfonds in großzügiger Weise unterstützt. J. Pietsch dankt dem Freistaat Bayern für Förderung durch ein Promotionsstipendium. Der weitere Dank von L. Dahlenburg geht noch an Herrn Prof. Dr. K. Brodersen für die Bereitstellung von Sach- und Personalmitteln.

Literatur und Bemerkungen

- [1] J. Pietsch, A. Wolski, L. Dahlenburg, M. Moll, H. Berke, D. Veghini und I.L. Eremenko, *J. Organomet. Chem.*, 472 (1994) 55.
- [2] H. Berke und P. Burger, *Comments Inorg. Chem.*, im Druck.
- [3] (a) A.J. Lough, S. Park, R. Ramachandran und R.H. Morris, *J. Am. Chem. Soc.*, 116 (1994) 8356; (b) R.C. Stevens, R. Bau, D. Milstein, O. Blum und T.F. Koetzle, *J. Chem. Soc., Dalton Trans.*, (1990) 1429; (c) J.C. Lee, A.L. Rheingold, B. Muller, P.S. Pregosin und R.H. Crabtree, *J. Chem. Soc., Chem. Commun.*, (1994) 1021.
- [4] (a) W.H. Hersh, *J. Am. Chem. Soc.*, 107 (1985) 4599; (b) R.V. Honeychuck und W.H. Hersh, *Inorg. Chem.*, 26 (1987) 1826; (c) R.V. Honeychuck und W.H. Hersh, *Inorg. Chem.*, 28 (1989) 2869.
- [5] S.O. Grim und W. McFarlane, *Can. J. Chem.*, 46 (1968) 2071.
- [6] R. Schmutzler, D. Schomburg, R. Bartsch und O. Stelzer, *Z. Naturforsch.*, 39b (1984) 1177.
- [7] W.H. Hersh, *Inorg. Chem.*, 29 (1990) 713.
- [8] N–N-Abstände zwischen koordinierter und freier NH₂-Funktion in den symmetrieeunabhängigen Kationen des kristallographisch untersuchten Komplexes [W(CO)₂(NO)(η¹-Ph₂PC₆H₄NH-2)(η²-Ph₂PC₆H₄NH-2)][SbF₆]⁺: 2.90 Å und 2.99 Å.
- [9] C. Redshaw, G. Wilkinson, T.K.N. Sweet und M.B. Hursthouse, *Polyhedron*, 12 (1993) 2013.
- [10] K.W. Chiu, W.-K. Wong, G. Wilkinson, A.M.R. Galas und M.B. Hursthouse, *Polyhedron*, 1 (1982) 37.
- [11] P.E. Garrou, *Chem. Rev.*, 81 (1981) 229.
- [12] (a) M.K. Cooper, J.M. Downes, H.J. Goodwin, M. McPartlin und J.M. Rosalky, *Inorg. Chim. Acta*, 76 (1983) 155; (b) M.K. Cooper, J.M. Downes, H.J. Goodwin und M. McPartlin, *Inorg. Chim. Acta*, 76 (1983) 157.

- [13] M.H. Chisholm, I.P. Parkin, W.E. Streib und K.S. Folting, *Polyhedron*, 10 (1991) 2309.
- [14] M.K. Cooper, J.M. Downes und P.A. Duckworth, *Inorg. Synth.*, 25 (1989) 129.
- [15] M.K. Cooper, J.M. Downes, P.A. Duckworth und E.R.T. Tiekkink, *Aust. J. Chem.*, 45 (1992) 595.
- [16] (a) H.D. Empsall, B.L. Shaw und B.L. Turtle, *J. Chem. Soc., Dalton Trans.*, (1976) 1500; (b) T.B. Rauchfuss, *Inorg. Chem.*, 16 (1977) 2966.
- [17] J.E. Hoots, T.B. Rauchfuss und D.A. Wroblewski, *Inorg. Synth.*, 21 (1982) 175.
- [18] (a) U. Koelle, *J. Organomet. Chem.*, 133 (1977) 53; (b) T.S.A. Hor, *Inorg. Chim. Acta*, 143 (1988) 3.
- [19] Definitionen der angegebenen Gütefaktoren: $R = \sum |F_o| - |F_c| / \sum |F_o|$; $wR_F = \{\sum [w(|F_o| - |F_c|)^2] / \sum [w(F_o)^2]\}^{1/2}$; $wR_{F^2} = \{\sum [w(F_o^2 - F_c^2)^2] / \sum [w(F_o^2)^2]\}^{1/2}$. Weitere Einzelheiten zu den Kristallstrukturuntersuchungen können beim Fachinformationszentrum Karlsruhe, D-76344 Eggenstein-Leopoldshafen, unter Angabe der Hinterlegungsnummer CSD-58669, der Autoren und des Zeitschriftentitels angefordert werden.
- [20] G. Davenport, N. Spadaccini und J. Stewart, ABSORB, in S.R. Hall, H.D. Flack und J.M. Stewart (Hrsg.), *XTAL 3.2 Reference Manual*, Universities of Western Australia, Geneva and Maryland 1992.
- [21] G.M. Sheldrick, *SHELXS86 – Program for Crystal Structure Solution from Diffraction Data*, Universität Göttingen, 1986.
- [22] G.M. Sheldrick, *SHELXS93 – Program for the Refinement of Crystal Structures from Diffraction Data*, Universität Göttingen, 1993.
- [23] N. Walker und D. Stuart, DIFABS – *Program for Correcting Diffractometer Data for Absorption Effects*, *Acta Crystallogr., A* 39 (1983) 158.